

**République Algérienne Démocratique et Populaire**  
**Ministère de l'Enseignement Supérieure et de la Recherche Scientifique**  
**Université Abderrahmane Mira**

Faculté de Technologie

Département : Génie Electrique

Filière : électrotechnique

Spécialité : Machines électrique



جامعة بجاية  
Tasdawit n Bgayet  
Université de Béjaïa

## Projet de Fin d'Etudes

Pour l'obtention du diplôme de Master

### Thème

**Etude de la machine asynchrone à double étoile dédiée à une voiture électrique**

**Préparé par :**

- **BOUZERIA Syphax**
- **BOUZERA Oualid**

**Dérogé par :**

- **A. Mokrani (encadreur)**
- **K. Hamitouche (co-encadreur)**

**Examiné par :**

- **A. Hamasse (Président)**
- **A. Azib (Examineur)**

**Année universitaire : 2021/2022**

# ***Remerciements***

*Nous remercions en premier lieu Dieu tout puissant de nous avoir accordé la puissance et la volonté pour terminer ce travail.*

*Nous tenons à remercier nos deux encadreurs,*

*Mr : Ahmed Mokrani*

*Mr : Kamel Hamitouche*

*Pour leurs disponibilités, enthousiasme avec la quel à proposé et suivi notre projet, et les précieux conseils qu'il nous à apportés.*

*Je remercie tous les membres de jury pour avoir accepté de juger ce travail.*

*Il m'est particulièrement agréable d'exprimer ici ma reconnaissance envers tous ceux qui ont rendu possible pour ce travail.*

---

# Dédicaces

*En premier lieu, je remerciée Dieu, qui ma  
Donné le courage, la force et la volonté pour*

*Réaliser ce modeste travail,*

*Je dédie ce modeste travail à :*

*Mes parents qui m'ont permettent d'être ce que je suis,*

*Ma chère sœur Massylia et mon cher frère Massi,*

*Ma mère, Mon père,*

*Toute la famille,*

*Tous mes enseignants,*

*Tous mes amis,*

*A tous ceux qui me sont chers.*

**Syphax**

---

# Dédicaces

*En premier lieu, je remerciée Dieu, qui ma  
Donné le courage, la force et la volonté pour  
Réaliser ce modeste travail,*

*Je dédie ce modeste travail à :*

*Mes parents qui m'ont permettent d'être ce que je suis,*

*Toute la famille,*

*Tous mes enseignants,*

*Tous mes amis,*

*A tous ceux qui me sont chers.*

**Oualid**

---

## Liste des figures

<b>Figure II. 1 :</b> Représentation schématique des enroulements de la MASDE .....	11
<b>Figure II. 2 :</b> Représentation du modèle généralisé de la MASDE sur l'axe « u,v » .....	17
<b>Figure II. 3 :</b> Les données de la machine .....	24
<b>Figure II. 4 :</b> Source de tensions triphasées décalées de 30° .....	24
<b>Figure II. 5 :</b> Performance de la MASDE alimentée par le réseau électrique .....	26
<b>Figure II. 6 :</b> schéma onduleur de tension triphasée.....	27
<b>Figure II. 7 :</b> Association MASDE-sources sinusoïdales .....	29
<b>Figure II. 8 :</b> Les fonctions sinus-triangle.....	30
<b>Figure II. 9 :</b> Tension simple $V_{as}$ .....	30
<b>Figure II. 10 :</b> Intersection tensions de référence et la porteuse.....	30
<b>Figure II. 11 :</b> Performance de la MASDE alimentée par deux onduleurs de tension en charge.....	32
<b>Figure III. 1 :</b> Principe de pilotage vectoriel de la MASDE .....	35
<b>Figure III. 2 :</b> Schéma d'un système asservi de premier ordre régulé par un PI.....	40
<b>Figure III. 3 :</b> Schéma de la boucle de régulation des courants statorique .....	41
<b>Figure III. 4 :</b> Représentations schématique de la commande FOC sur la MASDE.....	41
<b>Figure III. 5 :</b> Représentation schématique du bloc de découplage FOC.....	42
<b>Figure III. 6 :</b> L'évolution des caractéristiques de la MASDE par la commande vectorielle indirecte sans réglage de vitesse .....	43
<b>Figure III. 7 :</b> Schéma de dé-fluxage.....	44
<b>Figure III. 8 :</b> Schéma de la boucle de régulation de vitesse .....	45
<b>Figure III. 9 :</b> Représentation schématique de la commande FOC avec régulation de vitesse .....	45
<b>Figure III. 10 :</b> L'évolution des caractéristiques de la MASDE par la commande vectorielle indirecte sans réglage de vitesse .....	47
<b>Figure III. 11 :</b> Représentation de la commande MFOC sur la MASDE.....	48
<b>Figure III. 12 :</b> Boucle de régulation de flux .....	49
<b>Figure III. 13 :</b> Représentation schématique du bloc de découplage.....	49
<b>Figure III. 14 :</b> L'évolution des caractéristiques de la MASDE avec la régulation de la vitesse par la méthode de commande directe .....	51
<b>Figure IV. 1 :</b> Représentation des forces agissent sur le véhicule électrique de masse (m) se déplaçant sur une pente .....	53
<b>Figure IV. 2 :</b> Schéma de la dynamique d'un couple résistant d'un véhicule électrique .....	55
<b>Figure IV. 3 :</b> Simulation de l'influence de profil de vitesse sur un véhicule électrique.....	57
<b>Figure IV. 4 :</b> Simulation d'un véhicule travers une pente de 20° .....	59
<b>Figure IV. 5 :</b> Simulation d'un véhicule en survitesse pendant l'intervalle de temps $t = [5 \ 7]$ s.....	61

## Liste des tableaux

<b>Tableau I. 1 :</b> Machines multiphasées dont le nombre de phases statorique est un multiple de trois (machines multiphasées de type1).....	5
<b>Tableau I. 2 :</b> Machines multiphasées dont le nombre de phases statorique est un nombre impair (machines multiphasées de type2).....	6

*Liste des abréviations*

FOC : Field Oriented Control

MASDE : Machine Asynchrone a Double Etoile

MFOC : Modified Field Oriented Control

MLI : Modulation de Largeur d'Impulsion

PI : Proportionnelle Intégrale

VE : véhicule électrique

## Liste des symboles

$U$  : Tension de la source (V)

$U_S$  : Tension alternatif (V)

$I$  : Courant continue (A)

$I_S$  : Courant alternatif (A)

$C_m$  : Couple mécanique (N.m)

$\Omega_m$  : Vitesse mécanique (rad/s)

$t$  : Le temps (s)

$as, bs, cs$  : Les trois phases statorique

$ar, br, cr$  : Les trois phases rotorique

$v_{as1,bs1,cs1}$  : Tension statorique de l'étoile 1 [V]

$i_{as2,bs2,cs2}$  : Courant statorique de l'étoile 1 [A]

$\varphi_{as1,bs1,cs1}$  : Flux statorique de l'étoile 1 [Wb]

$r_{s1}$  : Resistance statorique d'une phase de l'étoile 1 [ohm]

$v_{as2,bs2,cs2}$  : Tension statorique de l'étoile 2 [V]

$i_{as2,bs2,cs2}$  : Courant statorique de l'étoile 2 [A]

$\varphi_{as2,bs2,cs2}$  : Flux statorique de l'etoile 2 [Wb]

$r_{s2}$  : Resistance statorique d'une phase de l'étoile 2 [ohm]

$v_{ra,rb,rc}$  : Tension rotorique [V]

$i_{ra,rb,rc}$  : Courant rotorique [A]

$\varphi_{ra,rb,rc}$  : Flux rotorique [Wb]

$r_r$  : Resistance d'une phase de rotor [ohm]

$[v_{s1}]$  : Matrice de tension de l'étoile 1.

$[v_{s2}]$  : Matrice de tension de l'etoile2.

$[i_{s1}]$  : Matrice de courant de l'etoile1.

$[i_{s2}]$  : Matrice de courant de l'etoile2.

$[i_r]$  : Matrice de courant de rotor.

$[\varphi_{s1}]$  : Matrice de flux de l'etoile1.

$[\varphi_{s2}]$  : Matrice de flux de l'etoile2.

## Liste des symboles

---

$[\varphi_r]$  : Matrice de flux de rotor.

$[L_{S_1S_1}]$  : Matrice inductance de l'étoile 1.

$[L_{S_2S_2}]$  : Matrice inductance de l'étoile 2.

$[L_{rr}]$  : Matrice inductance de rotor.

$[L_{S_1S_2}]$  : Matrice inductance mutuelle entre l'étoile 1 et l'étoile 2.

$[L_{S_1r}]$  : Matrice inductance mutuelle entre l'étoile 1 et rotor.

$[L_{S_2S_1}]$  : Matrice inductance mutuelle entre l'étoile 2 et l'étoile 1.

$[L_{S_2r}]$  : Matrice inductance mutuelle entre l'étoile 2 et rotor.

$[L_{rS_1}]$  : Matrice inductance mutuelle entre rotor et l'étoile 1.

$[L_{rS_2}]$  : Matrice inductance mutuelle entre rotor et étoile 2.

$L_{S_1}, L_{S_2}, L_r$  : Les valeurs des inductances de fuites de l'étoile 1, l'étoile 2 et rotor.

$L_m$  : Inductance mutuelle cyclique entre l'étoile 1, l'étoile 2 et rotor.

$L_{ms}$  : Inductance mutuelle statoriques.

$L_{mr}$  : Inductance mutuelle rotoriques.

$L_{sr}$  : Inductance mutuelle cyclique entre une étoile et le rotor.

$C_{em}$  : Couple électromagnétique [N.m]

$\omega_{mag}$  : Énergie magnétique [ $\frac{J}{m^3}$ ]

$p$  : Nombre de paires de pôles

$\theta_m$  : Angle mécanique [rad]

$\theta_e$  : Angle électrique [rad]

$C_r$  : Couple résistant [N.m]

$\Omega_r$  : Vitesse angulaire mécanique du rotor [rad/s]

$\omega_r$  : Vitesse angulaire électrique de rotation du rotor [rad/s]

$J$  : Inertie des parties tournantes de la machine asynchrone double étoile [ $kg/m^2$ ]

$K_f$  : Coefficient de frottement de la machine asynchrone à double étoile [N.m.s/rad]

$d, q$  : Indices de l'axe direct et en quadrature du repère de Park

$\omega_s$  : Pulsation des courants statoriques [rad/s]

$\omega_{gl}$  : Pulsation des courants rotoriques [rad/s]

$v_{d,qS1}$  : Tension statorique dans le repère de Park de l'étoile 1 [V]

$v_{d,qS2}$  : Tension statorique dans le repère de Park de l'étoile 2 [V]

$i_{d,qS1}$  : Courant statorique dans le repère de Park de l'étoile 1 [A]

$i_{d,qS2}$  : Courant statorique dans le repère de Park de l'étoile 2 [A]

## Liste des symboles

---

- $\varphi_{d,qs1}$  : Flux statorique dans le repaire de Park de l'étoile 1 [Wb]  
 $\varphi_{d,qs2}$  : Flux statorique dans le repaire de Park de l'étoile 2 [Wb]  
 $i_{d,qr}$  : Courant rotorique dans le repaire de Park [A]  
 $\varphi_{d,qr}$  : Flux rotorique dans le repaire de Park [Wb]  
 $P_{abs}$  : Puissance absorbé par la machine [W]  
 $P_{em}$  : Puissance électromagnétique de la machine [W]  
 $X$  : Vecteur d'état  
 $Y$  : Vecteur d'entrée  
 $\varphi_{md}$  : Flux magnétisant direct [Wb]  
 $\varphi_{mq}$  : Flux magnétisant en quadrature [Wb]  
 $\varphi_m$  : Flux magnétisant total [Wb]  
 $E$  : Tension continue a l'entrée de l'onduleur [V]  
 $V_m$  : Amplitude des tensions de référence [V]  
 $V_{pm}$  : Amplitude de la porteuse [V]  
 $T_p$  : Période de la porteuse [s]  
 $m$  : Indice de modulation  
 $r$  : Coefficient de réglage de la tension  
 $f_p$  : Fréquence de la porteuse [Hz]  
 $f$  : Fréquence des tensions de références [Hz]  
 $C_{em}^*$  : Couple électromagnétique de référence [N.m]  
 $\varphi_r^*$  : Flux rotorique de référence [Wb]  
 $v_{d,qs1}^*$  : Tension statorique de référence de l'étoile 1 dans le repaire de Park [V]  
 $v_{d,qs2}^*$  : Tension statorique de référence de l'étoile 2 dans le repaire de Park [V]  
 $\omega_s^*$  : Pulsation de référence des courants statorique [rad]  
 $\theta_s^*$  : Angle électrique de référence des courants statorique [rad]  
 $\omega_{gl}^*$  : Pulsation de référence des courant statorique [rad/s]  
 $P$  : Operateur de Laplace  
 $\tau_r$  : Constante de temps rotorique [s]  
 $K_p$  : Gain proportionnelle  
 $K_i$  : Gain integral
-

## Liste des symboles

---

$m$  : La masse totale du véhicule en  $kg$

$g$  : La gravité en  $m/s^2$

$f_{ro}$  : La constante de la force de résistance due au déplacement.

$\alpha$  : L'angle de pente de la route en  $rad$

$\rho_{air}$  : La densité de l'air en  $kg/m^3$

$A_f$  : La surface frontale du véhicule  $m^2$

$C_d$  : Le coefficient de traînée aérodynamique

$V_e$  : La vitesse du véhicule en  $m/s$

$F$  : La force de traction du véhicule électrique

$r$  : Rayon de la roue

$G$  : Gain de la réduction qui relie le moteur à l'axe

# Table de matière

---

<i>Remerciement</i>	
<i>Dédicaces</i>	
<i>Liste des figures et tableaux</i>	
<i>Liste des abréviations</i>	
<i>Liste des symboles</i>	
<b>Introduction générale</b> .....	<b>1</b>
<b>Chapitre I : Généralité sur les machines multiphasées</b>	
<b>I.1 Introduction</b> .....	<b>3</b>
<b>I.2 La machine asynchrone</b> .....	<b>3</b>
I.2.1 Définition.....	3
I.2.2 Constitution de la machine asynchrone.....	3
<b>I.3 Les machines multi-phasées</b> .....	<b>4</b>
I.3.1 Machine multi-phasées de « type 1 ».....	4
I.3.2 Machine multiphasées de « type 2 ».....	5
<b>I.4 Application des machines multi-phasées</b> .....	<b>7</b>
<b>I.6 Description du moteur asynchrone à double étoile</b> .....	<b>7</b>
<b>I.7 Principe de fonctionnement</b> .....	<b>8</b>
<b>I.8 Les Avantages et les inconvénients des machines Multi-phasées</b> .....	<b>8</b>
I.8.1 Avantage des machines Multi-phasées.....	8
I.8.2 Inconvénient des machines Multi-phasées .....	8
<b>I.9 Conclusion</b> .....	<b>9</b>
<b>Chapitre II : Modélisation de la machine asynchrone double étoile</b>	
<b>II.1 Introduction</b> .....	<b>10</b>
<b>II.2 Description de la machine asynchrone double étoile</b> .....	<b>10</b>
<b>II.3 Modélisation de la machine asynchrone double étoile</b> .....	<b>11</b>
II.3.1 Hypothèses simplificatrices .....	11
II.3.2 Modèle de la machine asynchrone triphasée à double étoile .....	11
II.3.2.1 Équations électriques.....	11
II.3.2.2 Équation magnétique .....	13
II.3.2.3 Expression du couple électromagnétique.....	15
II.3.2.4 Equation mécanique.....	15
II.3.3 Modèle biphasé de la machine asynchrone à double étoile.....	16
II.3.3.1 Transformation de base de Park .....	16

# Table de matière

---

II.3.3.2	Choix de référentiel.....	17
II.3.3.3	Equations électrique et magnétique.....	18
II.3.3.4	Puissance absorbé et couple électromagnétique .....	19
II.3.3.5	Représentation d'états de la MASDE.....	20
II.3.3.6	Simulation numérique .....	22
II.3.4	Alimentation de la MASDE par onduleur de tension a commande MLI .....	25
II.3.4.1	Modélisation de l'onduleur.....	25
II.3.4.2	Commande par modulation sinus-triangle.....	27
II.3.4.3	Association de la MASDE-onduleurs de tension a commande MLI .....	28
<b>II.4</b>	<b>Conclusion.....</b>	<b>32</b>
<b>Chapitre III : commande vectorielle de la MASDE</b>		
<b>III.1</b>	<b>Introduction.....</b>	<b>33</b>
<b>III.2</b>	<b>Origines de la commande vectorielle .....</b>	<b>33</b>
<b>III.3</b>	<b>Principe de la commande vectorielle .....</b>	<b>33</b>
<b>III.4</b>	<b>Choix d'orientation du flux.....</b>	<b>34</b>
<b>III.5</b>	<b>Méthode de la commande vectorielle.....</b>	<b>35</b>
III.5.1	Méthode direct.....	36
III.5.2	Méthode indirecte .....	36
<b>III.6</b>	<b>Commande vectorielle indirecte sans réglage de vitesse .....</b>	<b>36</b>
III.6.1	Identifications des paramètres des régulateurs PI.....	38
III.6.2	Applications de la commande vectorielle indirecte sur la MASDE .....	40
III.6.3	Simulation .....	42
<b>III.7</b>	<b>Commande vectorielle indirecte avec régulation de vitesse .....</b>	<b>43</b>
III.7.1	Identifications des paramètres du régulateur de vitesse .....	44
III.7.2	Simulations .....	44
<b>III.8</b>	<b>Commande vectorielle direct avec régulation de vitesse .....</b>	<b>47</b>
III.8.1	Estimateur de flux rotorique .....	47
III.8.2	Identification des paramètres du régulateur de flux .....	48
III.8.3	Simulation et interprétation des résultats.....	49
<b>III.9</b>	<b>Conclusion .....</b>	<b>51</b>
<b>Chapitre IV : application sur un véhicule électrique</b>		
<b>IV.1</b>	<b>Introduction.....</b>	<b>52</b>
<b>IV.2</b>	<b>Modélisation du véhicule électrique .....</b>	<b>52</b>
IV.2.1	Force de résistance au roulement.....	53

# Table de matière

---

IV.2.2	Force résistante a la pénétration dans l'air.....	53
IV.2.3	Force résistante due à la pente.....	53
IV.2.4	L'équation du mouvement.....	54
IV.2.5	Le couple résistant du véhicule.....	54
<b>IV.3</b>	<b>Application de la MASDE sur un véhicule électrique .....</b>	<b>54</b>
IV.3.1	Influence de profil de vitesse.....	55
IV.3.2	Essai de simulation en pente.....	57
IV.3.3	Essai de simulation du véhicule électrique en survitesse .....	58
<b>IV.4</b>	<b>Conclusion.....</b>	<b>61</b>
	<b>Conclusion générale.....</b>	<b>62</b>
	<b>Annexe</b>	
	<b>Bibliographie</b>	

---

# **Introduction générale**

---

## *Introduction générale*

Les machines à courant alternatif jouent actuellement un rôle important dans les entraînements électriques. En raison de leur simplicité, ces machines ont remplacé les machines à courant continu [1].

Ces dernières années, les recherches dans le domaine des entraînements électriques ont conduit à l'introduction des machines asynchrones en tant que moteurs, en raison de leurs avantages, notamment en ce qui concerne l'absence de collecteur mécanique.

Malheureusement, la machine asynchrone présente un inconvénient majeur, sa structure dynamique est fortement non linéaire à cause de l'existence d'un fort couplage entre le couple et le flux ce qui complique sa commande [1].

Le problème de complexité de la commande de cette machine asynchrone a ouvert la voie à plusieurs stratégies de commande. Parmi cette technique on cite la commande vectorielle [5].

Notre objectif s'inscrit sous le cadre de faire l'extension de ces techniques de commande sur la machine asynchrone à double étoile particulièrement la commande vectorielle. Le but de cette commande est d'arriver à commander la machine asynchrone comme une machine à courant continu à excitation indépendante ou il y a un découplage naturel entre la grandeur commandant le flux (le courant d'excitation), et celle qui est liée au couple (le courant d'induit). Ce découplage permet d'obtenir une réponse très rapide du couple [5].

L'étude de la MASDE dédiée à un véhicule électrique, sa structure, sa modélisation, son alimentation et enfin sa commande vectorielle font l'objet de quatre chapitres qui constituent notre mémoire.

Premier chapitre sera consacré à la généralité des machines polyphasées, la présentation des différents types de machines multi-phasées, leurs avantages et inconvénients en prenant l'exemple de la machine asynchrone double étoile, dans laquelle le principe de fonctionnement et sa description seront présentés.

Deuxième chapitre est consacré au modèle de la machine asynchrone à double étoile. Dans le cas présent il faut que la modélisation prenne en compte le régime transitoire de la

machine. La modélisation PARK est la plus appropriée, elle consiste à transformer une machine triphasée équilibrée en une machine biphasée équivalente.

Troisième chapitre présente la commande vectorielle appliquée à la machine asynchrone double étoile alimentée par un onduleur triphasé. Dans cette partie nous utilisons la méthode d'orientation du flux du rotor, qui nous permet d'obtenir un modèle MASDE similaire à un moteur à courant continu.

Quatrième chapitre, nous allons présenter la commande vectorielle d'une machine asynchrone double étoile dédiée à un véhicule électrique, les résultats de simulation obtenus sont donnés également dans ce chapitre.

Finalement, nous terminons notre travail par une conclusion générale.

---

# **Chapitre /**

**Généralité sur la machine asynchrone  
double étoile**

---

## I.1 Introduction

Les machines électriques triphasées à courant alternatif dominant assez largement le domaine des machines électriques [3]. Leur alimentation est réalisée par des onduleurs de tension dont les interrupteurs sont commandés en modulation de largeurs d'impulsions (MLI) qui permet d'obtenir de bonnes performances surtout dans le cas de vitesse variable [4].

Les moteurs asynchrones sont de loin les moteurs les plus utilisés dans toutes les applications industrielles en raison de leur facilité de mise en œuvre, de leur petite taille, de leur rendement élevé et de leur fiabilité. Son seul point noir est le circuit magnétique (l'énergie réactive que l'entrefer magnétisant dissipe toujours).

Dans ce chapitre une présentation sera faite sur les machines asynchrone multiphasées ou multi étoile, un cas particulier des machines multi étoile est la machine asynchrone double étoile et qui fera l'objet de notre travail.

## I.2 La machine asynchrone

### I.2.1 Définition

La machine asynchrone est une machine électrique tournante, fonctionnant sur le réseau alternatif de fréquence  $f$  ayant  $2p$  pôles, à une vitesse différente de celle du synchronisme  $N$  définie par :

$$N_s = \frac{60f}{p} \quad (1.1)$$

### I.2.2 Constitution de la machine asynchrone

- Le stator : se compose de trois enroulement (bobines) traversés par des courant alternatifs triphasé et possède  $p$  paire de pôles (nombre d'enroulement triphasés à l'intérieur du stator).
- Le rotor : partie tournant du moteur. Le rotor peut-être constitué d'un enroulement triphasé, mais la plupart il est souvent constitué d'une masse métallique qui comprend de l'aluminium pour l'alléger. On parle alors d'un rotor à cage d'écureuil.
- Les organes mécaniques permettant la rotation du rotor et le maintien des différents sous-ensembles.

### I.3 Les machines multi-phasées

On distingue habituellement deux types de machines multiphasées, suivant que le nombre de phases statoriques est ou non un multiple de trois. On peut ainsi les classer en deux groupes, qu'on nommera "machines multiphasées de type '1'" et machines multiphasées de type '2'. De plus, on considère rarement les cas où le nombre de phases est un nombre pairs, sauf si celui-ci est un multiple de trois [5].

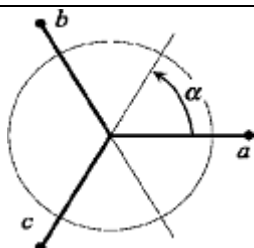
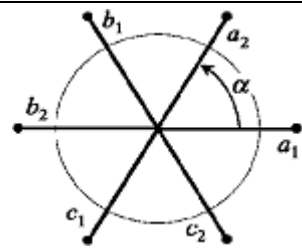
#### I.3.1 Machine multiphasées de « type 1 »

Les machines multiphasées de "type 1" sont des machines dont le nombre de phases statoriques  $q$  est un multiple de trois, de sorte que l'on puisse les grouper en  $(3A)$  étoiles triphasées :

$$q = 3A \quad \text{Avec : } (A = 1,2,3,4 \dots)$$

Ces machines sont aussi appelées « multi étoile ».

On remarque qu'il est préférable, en fonctionnement normal, d'avoir autant de neutres que d'étoile, c'est-à-dire  $A$  neutre isolé. Or pour un nombre donné de phase, il peut y'avoir plusieurs configurations possible suivant le décalage angulaire  $\alpha$  entre deux bobines adjacentes (qui correspond d'ailleurs au décalage d'étoile). En effet, une machine à double étoile ( $q=6$ ) dont les étoiles sont décalées de  $\alpha = \frac{\pi}{6}$  a des caractéristiques différentes de celles d'une machine dont les étoiles sont décalées de  $\alpha = \frac{\pi}{3}$ .

Nombre de phase ( $q$ )	Nombre équivalent de phase ( $q_\alpha$ )	Décalage angulaire ( $\alpha$ )	Représentation schématique, position des bobines
3	3	$\frac{\pi}{3}$	
6	3	$\frac{\pi}{3}$	

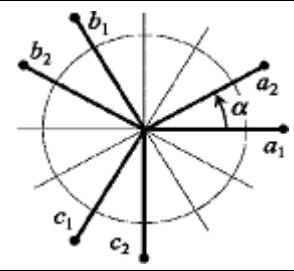
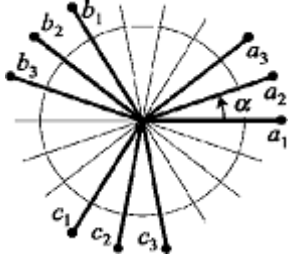
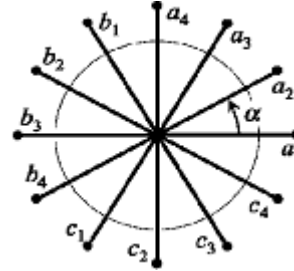
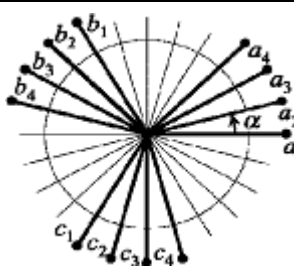
6	6	$\frac{\pi}{6}$	
9	9	$\frac{\pi}{9}$	
12	6	$\frac{\pi}{6}$	
12	12	$\frac{\pi}{12}$	

Tableau I. 1 : Machines multiphasées dont le nombre de phases statorique est un multiple de trois (machines multiphasées de type1)

### I.3.2 Machine multiphasées de « type 2 »

Si le nombre de phase statorique des machines multiphasées est impair et différent de trois (nombre de phase n'est pas multiple de trois). C'est donc le cas des machines multiphasées de type2. Dans ce type, les phases se décalent régulièrement de  $\frac{2\pi}{q} = 2\alpha$ .

On à donc :

$$q = q_{\alpha} = \frac{\pi}{\alpha} \quad (1.2)$$

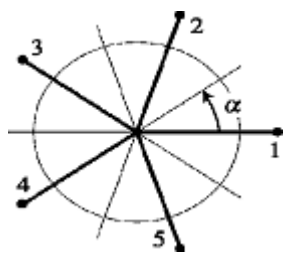
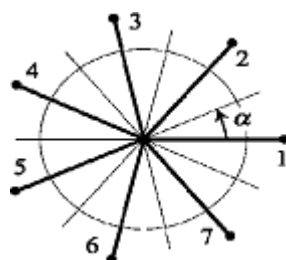
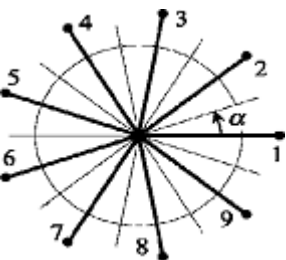
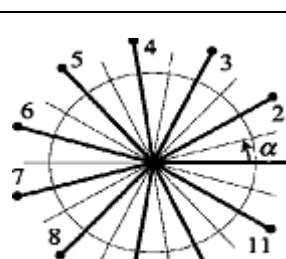
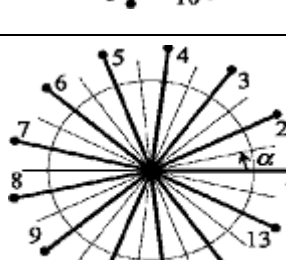
Nombre de phase (q)	Nombre équivalent de phase ( $q_\alpha$ )	Décalage angulaire ( $\alpha$ )	Représentation schématique, position des bobines
5	5	$\frac{\pi}{5}$	
7	7	$\frac{\pi}{7}$	
9	9	$\frac{\pi}{9}$	
11	11	$\frac{\pi}{11}$	
13	13	$\frac{\pi}{13}$	

Tableau I. 2 : Machines multiphasées dont le nombre de phases statorique est un nombre impair (machines multiphasées de type2)

## I.4 Application des machines multi-phasées

Les machines multi-phasées sont utilisées beaucoup plus dans les applications de puissance élevées, par exemple les alternateurs asynchrones pour générer une puissance élevées par rapport aux alternateurs conventionnels. Parmi ces applications on cite les pompes, les ventilateurs, les compresseurs, les moulins des compresseurs, les moulins du ciment, etc [6].

## I.5 Description du moteur asynchrone à double étoile

Le moteur synchrone triphasé à double stator est une machine électrique qui est composée de deux parties : une partie fixe qui est le stator (inducteur induit) et une partie mobile qui est le rotor (induit inducteur).

### ➤ **Partie fixe (stator ou inducteur induit)**

Il comporte deux stators décalés entre eux d'un angle  $\alpha = 30^\circ$  chacun est composé de trois enroulements identiques. Leurs axes sont décalés entre eux d'un angle électrique égal  $2\pi/3$  dans l'espace. Ils sont logés dans des encoches du circuit magnétique.

Les deux enroulements statoriques sont alimentés chacun par un système triphasé de courant équilibré, d'où la création d'un champ tournant glissant dans l'entrefer.

La vitesse de rotation du champ tournant est inversement proportionnelle au nombre de paires de pôles de la machine et à la pulsation des courants statoriques tel que :

$$\Omega_s = \frac{\omega_s}{p} \quad (1.3)$$

### ➤ **Partie mobile (rotor ou induit inducteur)**

Le rotor est constitué de manière à obtenir trois enroulements ayant un nombre de paires de pôles identique à celui du stator.

La structure électrique du rotor est supposée être un rotor à cage d'écureuil constitué de barre conductrices court circuitées par un anneau conducteur à chaque extrémité (barre conductrice en aluminium).

Ce choix permet d'obtenir des machines peu onéreuses, robustes, faciles d'emploi et nécessitent un entretien limité.

## I.6 Principe de fonctionnement

Le principe de fonctionnement de la machine asynchrone est basé sur l'application des principes I, II et III de l'électromagnétisme (loi d'ampère, loi de la place et la loi de Faraday).

Les courants statoriques créent un champ magnétique tournant dans les deux stators (l'étoile 1 alimenter par des courants triphasés et l'étoile 2 alimenter par les mêmes courants triphasés mais décalés d'un angle ( $\alpha$ ), La fréquence de rotation de ce champ est imposée par la fréquence des courants statoriques «  $f_s$  » c'est-à-dire que sa vitesse de rotation est proportionnelle à la fréquence de l'alimentation électrique.

La vitesse de ce champ tournant est appelée vitesse de synchronisme «  $\omega_s$  ». Elle est définie comme suit :

$$\omega_s = \frac{f_s}{p} \left[ \text{rad/s} \right] \quad (1.4)$$

## I.7 Les Avantages et les inconvénients des machines Multiphasées

### I.7.1 Avantage des machines Multiphasées

Les machines multiphasées ont un intérêt grandissant, et en particulier la machine asynchrone à double étoile (MASDE), qui présente en plus des avantages des machines asynchrones à cage, ceux des machines multiphasées. En effet, les variateurs multiphasés présentent plusieurs avantages par rapport aux machines conventionnelles triphasées [7].

- Segmentation de puissance.
- Amélioration de la fiabilité.
- Amélioration de facteur de puissance.
- Minimisations des ondulations du couple et des pertes rotorique.
- Basse courant par phase sans réduire de la tension par phase.
- Perte de fer réduit conduisant à une amélioration de la performance globale.
- Les machines à induction polyphasées moins de bruit par rapport à ceux triphasés.

### I.7.2 Inconvénient des machines Multiphasées

Cependant, la machine asynchrone présente des inconvénients tels que [4] :

- Le nombre de semi-conducteur augmente avec le nombre de phase, ce qui peut éventuellement augmenter le coût de l'ensemble convertisseur-machine.

- La multiplication du nombre des semi-conducteur avec la structure dynamique est fortement non linéaires et l'existence d'un fort couplage entre le couple et le flux, ce qui complique évidemment sa commande.
- L'inconvénient majeur des machines à double étoile est l'apparition de courant harmonique de circulation lors d'une alimentation par onduleur de tensions.

## **I.8 Conclusion**

Durant ce chapitre on donne une idée générale sur les différents type des machine multiphasées, leurs différentes caractéristique leurs avantage et leurs inconvénients.

Nous nous intéressons aux machines les plus courants, les machines double étoile (MASDE) et compte tenu de leur avantage, il est très intéressant de pouvoir étudier ce dernier en mode de fonctionnement (moteur).

Le chapitre suivant présent la modélisation de la machine asynchrone à double étoile (MASDE) en fonctionnement moteur.

---

# **Chapitre II**

**Modélisation de la machine asynchrone  
double étoile**

---

## II.1 Introduction

La modélisation d'une machine électrique est une phase essentielle de son développement. Les progrès de l'information et du génie logiciel permettent une modélisation et une optimisation performantes des machines électriques. Cependant, la modélisation d'une telle machine électrique est nécessaire pour l'étude et d'une part, le contrôle de ces actions, et d'autre part, lorsqu'il veut appliquer commande spéciale [5].

Après la description et la modélisation de la machine basée sur la théorie unifiée des machines électriques classique nous étudierons dans un premier temps la MASDE directement alimentée par des sources purement sinusoïdales et équilibrées (réseau électrique) en se basant sur la théorie unifiée des machines électriques classique, dite encore théorie généralisée ; cette dernière est basée sur la transformation de Park qui rapporte les équations électriques statorique et rotorique à des axes perpendiculaires électriquement (direct et en quadrature) [9], passant ensuite vers des études plus adéquates et plus performantes où on étudiera cette machine dans un repère dit (naturel).

## II.2 Description de la machine asynchrone double étoile

La MASDE est constituée d'un stator à deux enroulements triphasés identiques décalés d'un angle électrique  $\alpha = 30^\circ$  et d'un rotor à cage d'écureuil. Les angles  $\theta_r$  et  $(\theta_r - \alpha)$  indiquent la position du rotor (phase  $a_r$ ) par rapport à l'étoile 1 (phase  $a_{r1}$ ) et à une étoile 2 (phase  $a_{r2}$ ). La luminosité liée aux deux étoiles (1 et 2) sera enregistrée par l'indice (1 et 2) respectivement [1].

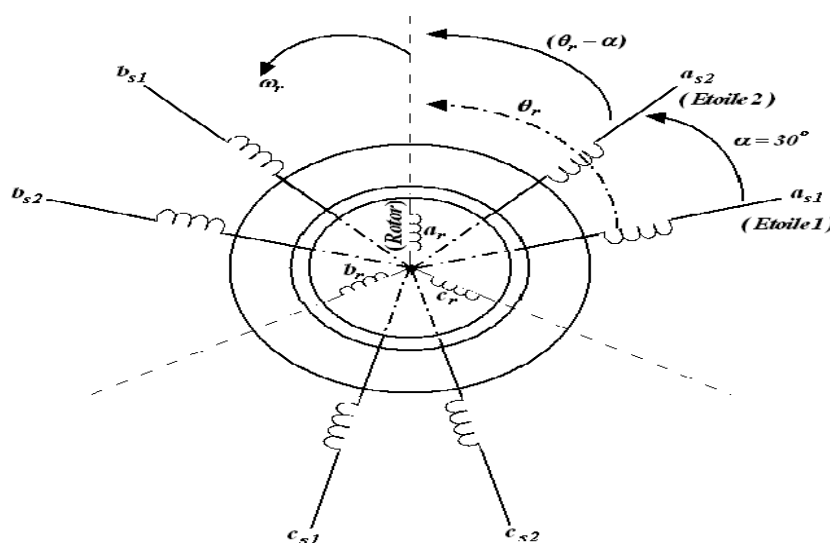


Figure II. 1 : Représentation schématique des enroulements de la MASDE

## II.3 Modélisation de la machine asynchrone double étoile

### II.3.1 Hypothèses simplificatrices

Pour notre étude, nous considérons les hypothèses simplification suivant [10] :

- ❖ Le circuit magnétique est non saturé.
- ❖ Les pertes (par hystérésis et courant de Foucault) sont négligées.
- ❖ Les force magnétomotrice créée par chacun des phases des deux armatures sont a répartition sinusoïdale d'où résulte que l'entrefer est constant, que l'inductance propres sont des constante et que l'inductance mutuelle entre des enroulements sont des fonctions sinusoïdales de l'angle entre leurs axes magnétiques.
- ❖ Les résistances ne varient pas avec la température et on néglige l'effet de peau [11] [12].
- ❖ La machine est constitution symétrique.

### II.3.2 Modèle de la machine asynchrone triphasée à double étoile

#### II.3.2.1 Équations électriques

Les équations des tensions de la machine asynchrone à double étoile représentent pour chaque enroulement la somme de la chute ohmique et la chute inductive due au flux.

Pour l'étoile 1 :

$$\begin{cases} v_{sa_1} = r_{s1} i_{sa_1} + \frac{d\varphi_{sa_1}}{dt} \\ v_{sb_1} = r_{s1} i_{sb_1} + \frac{d\varphi_{sb_1}}{dt} \\ v_{sc_1} = r_{s1} i_{sc_1} + \frac{d\varphi_{sc_1}}{dt} \end{cases} \quad (2.1)$$

Pour l'étoile 2 :

$$\begin{cases} v_{sa_2} = r_{s2} i_{sa_2} + \frac{d\varphi_{sa_2}}{dt} \\ v_{sb_2} = r_{s2} i_{sb_2} + \frac{d\varphi_{sb_2}}{dt} \\ v_{sc_2} = r_{s2} i_{sc_2} + \frac{d\varphi_{sc_2}}{dt} \end{cases} \quad (2.2)$$

Pour rotor :

$$\begin{cases} v_{ra} = r_r i_{ra} + \frac{d\varphi_{ra}}{dt} \\ v_{rb} = r_r i_{rb} + \frac{d\varphi_{rb}}{dt} \\ v_{rc} = r_r i_{rc} + \frac{d\varphi_{rc}}{dt} \end{cases} \quad (2.3)$$

La forme matricielle est la suivante :

$$[v_{s_1}] = [r_{s_1}][i_{s_1}] + \frac{d}{dt} [\varphi_{s_1}] \quad (2.4)$$

$$[v_{s_2}] = [r_{s_2}][i_{s_2}] + \frac{d}{dt} [\varphi_{s_2}] \quad (2.5)$$

$$[v_r] = [r_r][i_r] + \frac{d}{dt} [\varphi_r] \quad (2.6)$$

On pose :

$$r_{s_1} = r_{sa1} = r_{sb1} = r_{sc1}$$

$$r_{s_2} = r_{sa2} = r_{sb2} = r_{sc2}$$

$$[r_{s_1}] = \begin{bmatrix} r_{s_1} & 0 & 0 \\ 0 & r_{s_1} & 0 \\ 0 & 0 & r_{s_1} \end{bmatrix}, \quad [r_{s_2}] = \begin{bmatrix} r_{s_2} & 0 & 0 \\ 0 & r_{s_2} & 0 \\ 0 & 0 & r_{s_2} \end{bmatrix}, \quad [R_r] = \begin{bmatrix} r_r & 0 & 0 \\ 0 & r_r & 0 \\ 0 & 0 & r_r \end{bmatrix}$$

Avec :

$[r_{s_1}]$  : Résistance d'une phase de l'étoile 1.

$[r_{s_2}]$  : Résistance d'une phase de l'étoile 2.

$[r_r]$  : Résistance d'une phase de rotor.

$$[v_{s_1}] = \begin{bmatrix} v_{sa1} \\ v_{sb1} \\ v_{sc1} \end{bmatrix}, \quad [v_{s_2}] = \begin{bmatrix} v_{sa2} \\ v_{sb2} \\ v_{sc2} \end{bmatrix}$$

$[v_{s_1}]$  : Matrice de tension de l'étoile 1.

$[v_{s_2}]$  : Matrice de tension de l'étoile 2.

$$[i_{s_1}] = \begin{bmatrix} i_{sa1} \\ i_{sb1} \\ i_{sc1} \end{bmatrix}; \quad [i_{s_2}] = \begin{bmatrix} i_{sa2} \\ i_{sb2} \\ i_{sc2} \end{bmatrix}; \quad [i_r] = \begin{bmatrix} i_{ra} \\ i_{rb} \\ i_{rc} \end{bmatrix}$$

$[i_{s_1}]$  : Matrice de courant de l'étoile 1.

$[i_{s_2}]$  : Matrice de courant de l'étoile 2.

$[i_r]$  : Matrice de courant de rotor.

$$[\varphi_{s_1}] \begin{bmatrix} \varphi_{sa_1} \\ \varphi_{sb_1} \\ \varphi_{sc_1} \end{bmatrix}, \quad [\varphi_{s_2}] \begin{bmatrix} \varphi_{sa_2} \\ \varphi_{sb_2} \\ \varphi_{sc_2} \end{bmatrix}, \quad [\varphi_r] \begin{bmatrix} \varphi_{ra} \\ \varphi_{rb} \\ \varphi_{rc} \end{bmatrix}$$

$[\varphi_{s_1}]$  : Matrice de flux de l'étoile1.

$[\varphi_{s_2}]$  : Matrice de flux de l'étoile2.

$[\varphi_r]$  : Matrice de flux de rotor.

### II.3.2.2 Équation magnétique

C'est à partir de la matrice  $[L_{(q)}]$  qu'on obtient les équations de flux en fonctions des courants [10] [11].

$$[L(\theta)] = \begin{bmatrix} L_{s_1s_1} & L_{s_1s_2} & L_{s_1r} \\ L_{s_2s_1} & L_{s_2s_2} & L_{s_2r} \\ L_{rs_1} & L_{rs_2} & L_{rr} \end{bmatrix}$$

L'écriture matricielle qui résume les équations de flux statorique et rotorique est :

$$\begin{bmatrix} \varphi_{s_1} \\ \varphi_{s_2} \\ \varphi_r \end{bmatrix} = \begin{bmatrix} L_{s_1s_1} & L_{s_1s_2} & L_{s_1r} \\ L_{s_2s_1} & L_{s_2s_2} & L_{s_2r} \\ L_{rs_1} & L_{rs_2} & L_{rr} \end{bmatrix} \begin{bmatrix} i_{s_1} \\ i_{s_2} \\ i_r \end{bmatrix} \quad (2.7)$$

$[L_{s_1s_1}]$  : Matrice inductance de l'étoile 1.

$[L_{s_2s_2}]$  : Matrice inductance de l'étoile 2.

$[L_{rr}]$  : Matrice inductance de rotor.

$[L_{s_1s_2}]$  : Matrice inductance mutuelle entre l'étoile 1 et l'étoile 2.

$[L_{s_1r}]$  : Matrice inductance mutuelle entre l'étoile 1 et rotor.

$[L_{s_2s_1}]$  : Matrice inductance mutuelle entre l'étoile 2 et l'étoile 1.

$[L_{s_2r}]$  : Matrice inductance mutuelle entre l'étoile 2 et rotor.

$[L_{rs_1}]$  : Matrice inductance mutuelle entre rotor et l'étoile 1.

$[L_{rs_2}]$  : Matrice inductance mutuelle entre rotor et étoile2.

Les sous matrices de la matrice d'inductance sont :

$$[L_{S_1 S_1}] = \begin{bmatrix} (L_{S_1} + L_{ms}) & L_{ms} \cos\left(\frac{2\pi}{3}\right) & L_{ms} \cos\left(\frac{4\pi}{3}\right) \\ L_{ms} \cos\left(\frac{4\pi}{3}\right) & (L_{S_1} + L_{ms}) & L_{ms} \cos\left(\frac{2\pi}{3}\right) \\ L_{ms} \cos\left(\frac{2\pi}{3}\right) & L_{ms} \cos\left(\frac{4\pi}{3}\right) & (L_{S_1} + L_{ms}) \end{bmatrix}$$

$$[L_{S_2 S_2}] = \begin{bmatrix} (L_{S_2} + L_{ms}) & L_{ms} \cos\left(\frac{2\pi}{3}\right) & L_{ms} \cos\left(\frac{4\pi}{3}\right) \\ L_{ms} \cos\left(\frac{4\pi}{3}\right) & (L_{S_2} + L_{ms}) & L_{ms} \cos\left(\frac{2\pi}{3}\right) \\ L_{ms} \cos\left(\frac{2\pi}{3}\right) & L_{ms} \cos\left(\frac{4\pi}{3}\right) & (L_{S_2} + L_{ms}) \end{bmatrix}$$

$$[L_{r r}] = \begin{bmatrix} (L_r + L_{mr}) & L_{mr} \cos\left(\frac{2\pi}{3}\right) & L_{mr} \cos\left(\frac{4\pi}{3}\right) \\ L_{mr} \cos\left(\frac{4\pi}{3}\right) & (L_r + L_{mr}) & L_{mr} \cos\left(\frac{2\pi}{3}\right) \\ L_{mr} \cos\left(\frac{2\pi}{3}\right) & L_{mr} \cos\left(\frac{4\pi}{3}\right) & (L_r + L_{mr}) \end{bmatrix}$$

$$[L_{S_1 S_2}] = \begin{bmatrix} L_{ms} \cos(\alpha) & L_{ms} \cos\left(\alpha + \frac{2\pi}{3}\right) & L_{ms} \cos\left(\alpha + \frac{4\pi}{3}\right) \\ L_{ms} \cos\left(\alpha + \frac{4\pi}{3}\right) & L_{ms} \cos(\alpha) & L_{ms} \cos\left(\alpha + \frac{2\pi}{3}\right) \\ L_{ms} \cos\left(\alpha + \frac{2\pi}{3}\right) & L_{ms} \cos\left(\alpha + \frac{4\pi}{3}\right) & L_{ms} \cos(\alpha) \end{bmatrix}$$

$$[L_{S_1 r}] = \begin{bmatrix} L_{sr} \cos(\theta_r) & L_{sr} \cos\left(\theta_r + \frac{2\pi}{3}\right) & L_{sr} \cos\left(\theta_r + \frac{4\pi}{3}\right) \\ L_{sr} \cos\left(\theta_r + \frac{4\pi}{3}\right) & L_{sr} \cos(\theta_r) & L_{sr} \cos\left(\theta_r + \frac{2\pi}{3}\right) \\ L_{sr} \cos\left(\theta_r + \frac{2\pi}{3}\right) & L_{sr} \cos\left(\theta_r + \frac{4\pi}{3}\right) & L_{sr} \cos(\theta_r) \end{bmatrix}$$

$$[L_{S_2 r}] = \begin{bmatrix} L_{sr} \cos(\theta_r - \alpha) & L_{sr} \cos\left(\theta_r - \alpha + \frac{2\pi}{3}\right) & L_{sr} \cos\left(\theta_r - \alpha + \frac{4\pi}{3}\right) \\ L_{sr} \cos\left(\theta_r - \alpha + \frac{4\pi}{3}\right) & L_{sr} \cos(\theta_r - \alpha) & L_{sr} \cos\left(\theta_r - \alpha + \frac{2\pi}{3}\right) \\ L_{sr} \cos\left(\theta_r - \alpha + \frac{2\pi}{3}\right) & L_{sr} \cos\left(\theta_r - \alpha + \frac{4\pi}{3}\right) & L_{sr} \cos(\theta_r - \alpha) \end{bmatrix}$$

Les sous matrice :

$$[L_{S_1 S_2}] = [L_{S_2 S_1}]^t, \quad [L_{S_1 r}] = [L_{r S_1}]^t, \quad [L_{S_2 r}] = [L_{r S_2}]^t$$

Avec :

$$L_{ms} = L_{mr} = L_{sr} = \frac{2}{3}L_m$$

$L_{S_1}, L_{S_2}, L_r$  : Les valeurs des inductances de fuites de l'étoile 1, l'étoile 2 et rotor.

$L_m$  : Inductance mutuelle cyclique entre l'étoile1, l'étoile2 et rotor.

$L_{ms}$  : Inductance mutuelle statoriques.

$L_{mr}$  : Inductance mutuelle rotoriques.

$L_{sr}$  : Inductance mutuelle cyclique entre une étoile et le rotor.

### II.3.2.3 Expression du couple électromagnétique

Il est donné par la dérivée Partielle de l'énergie par rapport a l'angle mécanique [8].

$$C_{em} = \frac{\partial W_{mag}}{\partial \theta_m} = P \frac{\partial W_{mag}}{\partial \theta_e} \quad (2.8)$$

L'énergie magnétique est donne par l'expression suivante :

$$W_{mag} = \frac{1}{2} \{ [i_{s1}]^t [\phi_{s1}] + [i_{s2}]^t [\phi_{s2}] + [i_r]^t [\phi_r] \} \quad (2.9)$$

D'où :

$$C_{em} = \frac{P}{2} \left\{ [i_{s1}] \frac{d}{d\theta_r} [L_{S_1r}] [i_r]^t + [i_{s2}] \frac{d}{d\theta_r} [L_{S_2r}] [i_r]^t \right\} \quad (2.10)$$

$p$  : Nombre de paire de pole.

$\theta_m$  : Angle mécanique.

$\theta_e$  : Angle électrique.

### II.3.2.4 Equation mécanique

L'équation mécanique est la solution de l'équation fondamentale de la dynamique [12] :

$$C_{em} - C_r = J \frac{d\Omega}{dt} + K_f \Omega \quad (2.11)$$

Ou :

$$\Omega = \frac{\omega_r}{p} \quad (2.12)$$

$$\omega_r = \frac{d\theta_r}{dt} \quad (2.13)$$

$\Omega$  : Vitesse de rotation de la machine.

$C_{em}$  : Couple électromagnétique.

$C_r$  : Couple résistant (couple de charge).

$K_f$  : Coefficient de frottement.

$\mathcal{J}$  : Moment d'inertie.

### II.3.3 Modèle biphasé de la machine asynchrone à double étoile

#### II.3.3.1 Transformation de base de Park

La transformation de Park consiste à transformer le système d'enroulements triphasés statoriques d'axes (a, d et c) en un système équivalent à deux enroulements biphasés d'axes (d, q) et inversement, avec la création d'un champ électromagnétique tournant avec des forcesmagnétomotrices [13].

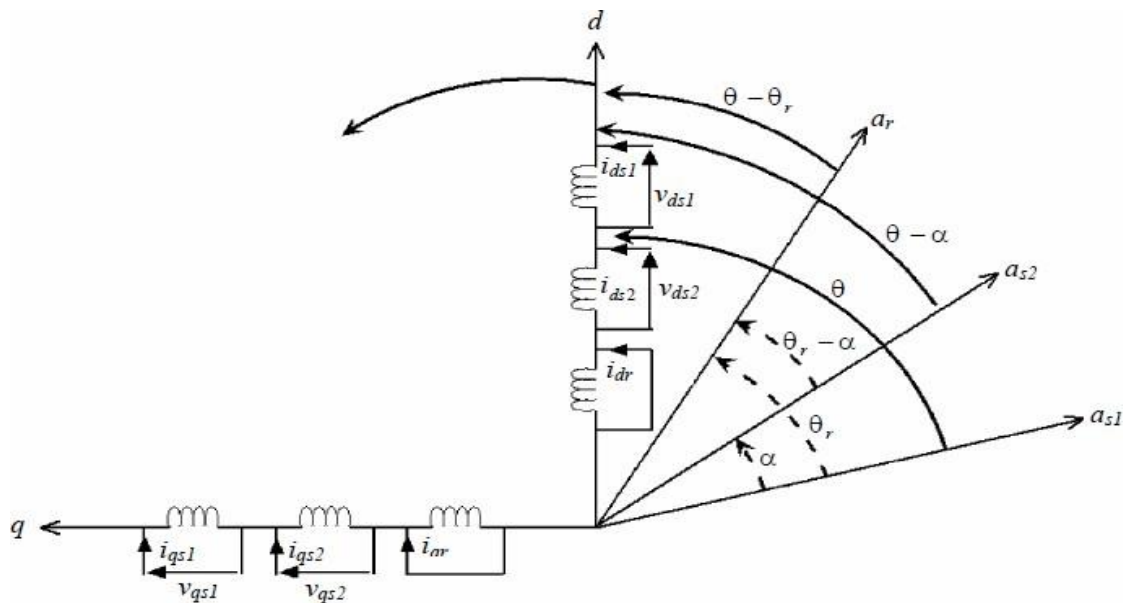


Figure II. 2 : Représentation du modèle généralisé de la MASDE sur l'axe « u,v »

La matrice Park en générale :

$$[P(\theta)] = \sqrt{\frac{2}{3}} \begin{bmatrix} \cos(\theta) & \cos\left(\theta - \frac{2\pi}{3}\right) & \cos\left(\theta + \frac{2\pi}{3}\right) \\ -\sin(\theta) & -\sin\left(\theta - \frac{2\pi}{3}\right) & -\sin\left(\theta + \frac{2\pi}{3}\right) \\ \frac{1}{\sqrt{2}} & \frac{1}{\sqrt{2}} & \frac{1}{\sqrt{2}} \end{bmatrix}$$

La matrice inverse de Park :  $[G_{abc}] = [P(\theta)]^{-1}[G_{dq0}]$

Sachant que :

$$[P(\theta)]^{-1} = [P(\theta)]^t$$

$$[P(\theta)]^{-1} = \sqrt{\frac{2}{3}} \begin{bmatrix} \cos(\theta) & -\sin(\theta) & \frac{1}{\sqrt{2}} \\ \cos\left(\theta - \frac{2\pi}{3}\right) & -\sin\left(\theta - \frac{2\pi}{3}\right) & \frac{1}{\sqrt{2}} \\ \cos\left(\theta + \frac{2\pi}{3}\right) & -\sin\left(\theta + \frac{2\pi}{3}\right) & \frac{1}{\sqrt{2}} \end{bmatrix}$$

On transforme le système triphasé en un système biphasé tournant :

La matrice de Park pour l'étoile1 :

$$[P(\theta)_{s_1}] = \sqrt{\frac{2}{3}} \begin{bmatrix} \cos(\theta) & \cos\left(\theta - \frac{2\pi}{3}\right) & \cos\left(\theta + \frac{2\pi}{3}\right) \\ -\sin(\theta) & -\sin\left(\theta - \frac{2\pi}{3}\right) & -\sin\left(\theta + \frac{2\pi}{3}\right) \\ \frac{1}{\sqrt{2}} & \frac{1}{\sqrt{2}} & \frac{1}{\sqrt{2}} \end{bmatrix} \quad (2.14)$$

La matrice de Park pour l'étoile2 :

$$[P(\theta)_{s_2}] = \sqrt{\frac{2}{3}} \begin{bmatrix} \cos(\theta - \alpha) & \cos\left(\theta - \alpha - \frac{2\pi}{3}\right) & \cos\left(\theta - \alpha + \frac{2\pi}{3}\right) \\ -\sin(\theta - \alpha) & -\sin\left(\theta - \alpha - \frac{2\pi}{3}\right) & -\sin\left(\theta - \alpha + \frac{2\pi}{3}\right) \\ \frac{1}{\sqrt{2}} & \frac{1}{\sqrt{2}} & \frac{1}{\sqrt{2}} \end{bmatrix} \quad (2.15)$$

La matrice de Park pour le rotor :

$$[P(\theta_r)] = \sqrt{\frac{2}{3}} \begin{bmatrix} \cos(\theta - \theta_r) & \cos\left(\theta - \theta_r - \frac{2\pi}{3}\right) & \cos\left(\theta - \theta_r + \frac{2\pi}{3}\right) \\ -\sin(\theta - \theta_r) & -\sin\left(\theta - \theta_r - \frac{2\pi}{3}\right) & -\sin\left(\theta - \theta_r + \frac{2\pi}{3}\right) \\ \frac{1}{\sqrt{2}} & \frac{1}{\sqrt{2}} & \frac{1}{\sqrt{2}} \end{bmatrix} \quad (2.16)$$

$[P(\theta)_{s_1}]$  : Matrice de transformation de premier enroulement statorique (étoile 1).

$[P(\theta)_{s_2}]$  : Matrice de transformation de deuxième enroulement statorique (étoile 2).

$[P(\theta_r)]$  : Matrice de transformation d'enroulement rotorique.

### II.3.3.2 Choix de référentiel

Trois types de référentiels existent dans la pratique, le choix se fait selon le problème à étudier.

➤ **Référentiel lie au stator**

La première phase de la première étoile ( $A_1$ ) coïncide avec l'axe direct (d), pour ce modèle  $\theta_{s=0}$  et  $\omega_s = 0$ .

$$\frac{d\theta_s}{dt} = 0 \text{ avec } \theta_s = \theta_r + \theta$$

Donc :

$$\frac{d\theta_s}{dt} = \frac{d\theta_r}{dt} + \frac{d\theta}{dt} \rightarrow \frac{d\theta_r}{dt} = -\frac{d\theta}{dt} = -p\Omega$$

➤ **Référentiel lie au rotor**

C'est un référentiel souvent utilisé dans le régime transitoire ou la vitesse de rotation est considérée constante.

$$\frac{d\theta_r}{dt} = 0 \rightarrow \frac{d\theta}{dt} = \frac{d\theta}{dt} = p\Omega$$

La vitesse électrique de repère « d-q » est égale à la pulsation électrique du rotor.

➤ **Référentiel lie au champ tournant**

C'est un référentiel qui n'introduit pas des simplifications dans la transformation de l'équation électrique.

Donc :

$$\frac{d\theta_s}{dt} = \omega_s \rightarrow \frac{d\theta_r}{dt} = \omega_s - p\Omega$$

La vitesse du repère « d-q » est égale à la vitesse du champ tournant  $\omega_s$ .

Le choix d'étude : L'étude de la MASDE se fera avec un référentiel « d-q » lie aux champs tournant.

### II.3.3.3 Equations électrique et magnétique

N appliquant la transformation de Park aux équations électrique et magnétique de la machine, on aura le système d'équation suivant [14] :

$$\begin{cases} v_{ds_1} = r_{s_1} i_{ds_1} + \frac{d}{dt} \varphi_{ds_1} - \omega_s \varphi_{qs_1} \\ v_{qs_1} = r_{s_1} i_{qs_1} + \frac{d}{dt} \varphi_{qs_1} + \omega_s \varphi_{ds_1} \\ v_{ds_2} = r_{s_2} i_{ds_2} + \frac{d}{dt} \varphi_{ds_2} - \omega_s \varphi_{qs_2} \\ v_{qs_2} = r_{s_2} i_{qs_2} + \frac{d}{dt} \varphi_{qs_2} + \omega_s \varphi_{ds_2} \\ 0 = r_r i_{dr} + \frac{d}{dt} \varphi_{dr} - \omega_{gl} \varphi_{qr} \\ 0 = r_r i_{qr} + \frac{d}{dt} \varphi_{qr} + \omega_{gl} \varphi_{dr} \end{cases} \quad (2.17)$$

Ou :

$$\omega_{gl} = \omega_s - \omega_r \quad (2.18)$$

Les composant de flux statorique et rotorique sont exprimé par :

$$\begin{cases} \varphi_{ds_1} = L_{s_1} i_{ds_1} + L_m (i_{ds_1} + i_{ds_1} + i_{dr}) \\ \varphi_{qs_1} = L_{s_1} i_{qs_1} + L_m (i_{qs_1} + i_{qs_1} + i_{qr}) \\ \varphi_{ds_2} = L_{s_2} i_{ds_2} + L_m (i_{ds_2} + i_{ds_2} + i_{dr}) \\ \varphi_{qs_2} = L_{s_2} i_{qs_2} + L_m (i_{qs_2} + i_{qs_2} + i_{dr}) \\ \varphi_{dr} = L_r i_{dr} + L_m (i_{ds_1} + i_{ds_2} + i_{dr}) \\ \varphi_{qr} = L_r i_{qr} + L_m (i_{qs_1} + i_{qs_2} + i_{dr}) \end{cases} \quad (2.19)$$

### II.3.3.4 Puissance absorbé et couple électromagnétique

La transformation de PARK repose sur l'invariance de la puissance instantanée dans les deux systèmes de transformation, ce qui de toute évidence conduit a leur équivalence physique, en négligent la composante homopolaire, la puissance absorbée par la MASDE dans le système d'axe (d, q) est exprimée par [15] :

$$P_{abc} = v_{ds_1} i_{ds_1} + v_{qs_1} i_{qs_1} + v_{ds_2} i_{ds_2} + v_{qs_2} i_{qs_2} \quad (2.20)$$

En remplaçant les expressions de tensions ( $v_{ds_1}, v_{qs_1}, v_{ds_2}, v_{qs_2}$ ) par leurs expressions, on trouve :

$$P_{abc} = (r_{s_1} i_{ds_1}^2 + r_{s_1} i_{qs_1}^2 + r_{s_2} i_{ds_2}^2 + r_{s_2} i_{qs_2}^2) + \left( \frac{d\varphi_{ds_1}}{dt} i_{ds_1} + \frac{d\varphi_{qs_1}}{dt} i_{qs_1} + \frac{d\varphi_{ds_2}}{dt} i_{ds_2} + \frac{d\varphi_{qs_2}}{dt} i_{qs_2} \right) + \omega_s (\varphi_{ds_1} i_{ds_1} + \varphi_{qs_1} i_{qs_1} + \varphi_{ds_2} i_{ds_2} + \varphi_{qs_2} i_{qs_2}) \quad (2.21)$$

Cette expression se compose de trois termes, le premier correspond aux pertes par effet joule, le second représente la variation de l'énergie électromagnétique (réserve d'énergie) et le dernier représente la puissance électromagnétique ( $P_{em}$ ) :

$$C_{em} = \frac{P_{em}}{\Omega_s} = p \frac{P_{em}}{\omega_s} \quad (2.22)$$

En remplaçant la puissance électromagnétique, on aura :

$$C_{em} = p(\varphi_{ds_1} i_{ds_1} - \varphi_{qs_1} i_{qs_1} + \varphi_{ds_2} i_{ds_2} - \varphi_{qs_2} i_{qs_2}) \quad (2.23)$$

En remplaçant les expressions des flux ( $\varphi_{dr_1}, \varphi_{qr_1}, \varphi_{dr_2}, \varphi_{qr_2}$ ) données par (2.19) dans (2.23), on obtient :

$$C_{em} = pL_m[(i_{qs_1} + i_{qs_2})i_{dr} - (i_{ds_1} + i_{ds_2})i_{qr}] \quad (2.24)$$

A partir des expressions des flux rotorique ( $\varphi_{dr}, \varphi_{qr}$ ) exprimée dans (2.19) dans (2.23), on tire :

$$i_{dr} = \frac{1}{L_m + L_r} [\varphi_{dr} - L_m(i_{ds_1} + i_{ds_2})] \quad (2.25)$$

$$i_{qr} = \frac{1}{L_m + L_r} [\varphi_{qr} - L_m(i_{qs_1} + i_{qs_2})] \quad (2.26)$$

En introduisant les expressions des courants ( $I_{dr}, I_{qr}$ ) dans l'expression de couple électromagnétique (2.24), on obtient :

$$C_{em} = p \frac{L_m}{L_m + L_r} [(i_{qs_1} + i_{qs_2})\varphi_{dr} - (i_{ds_1} + i_{ds_2})\varphi_{qr}] \quad (2.27)$$

### II.3.3.5 Représentation d'états de la MASDE

La représentation d'état consiste à exprimer le modèle de la machine sous forme :

$$\frac{dX}{dt} = AX + BY \quad (2.28)$$

Avec :

$$X = [\varphi_{ds_1} \quad \varphi_{ds_2} \quad \varphi_{qs_1} \quad \varphi_{qs_2} \quad \varphi_{dr} \quad \varphi_{qr}]^t \quad : \text{Vecteur d'état}$$

$$Y = [v_{ds_1} \quad v_{ds_2} \quad v_{qs_1} \quad v_{qs_2} \quad 0 \quad 0]^t \quad : \text{Vecteur d'entrée}$$

Le flux magnétisant  $\varphi_m$  est la somme des deux flux magnétisants direct  $\varphi_{md}$  et en quadrature  $\varphi_{mq}$ , d'où :

$$\varphi_m = \sqrt{\varphi_{md}^2 + \varphi_{mq}^2} \quad (2.29)$$

A partir de système d'équations (2.19) les différents courants s'expriment comme suite :

$$\begin{cases} i_{ds1} = \frac{\varphi_{ds1} - \varphi_{md}}{L_{s1}} \\ i_{ds2} = \frac{\varphi_{ds2} - \varphi_{md}}{L_{s2}} \\ i_{qs1} = \frac{\varphi_{qs1} - \varphi_{mq}}{L_{s1}} \\ i_{qs2} = \frac{\varphi_{qs2} - \varphi_{mq}}{L_{s2}} \\ i_{dr} = \frac{\varphi_{dr} - \varphi_{md}}{L_r} \\ i_{qr} = \frac{\varphi_{qr} - \varphi_{mq}}{L_r} \end{cases} \quad (2.30)$$

Avec :

$$\begin{cases} \varphi_{md} = L_m (i_{ds1} + i_{ds2} + i_{dr}) \\ \varphi_{mq} = L_m (i_{qs1} + i_{qs2} + i_{qr}) \end{cases} \quad (2.31)$$

En introduisant les expressions des courants (2.30) dans (2.31), en aura :

$$\begin{cases} \varphi_{md} = \left( \frac{\varphi_{ds1}}{L_{s1}} + \frac{\varphi_{ds2}}{L_{s2}} + \frac{\varphi_{dr}}{L_r} \right) L_a \\ \varphi_{mq} = \left( \frac{\varphi_{qs1}}{L_{s1}} + \frac{\varphi_{qs2}}{L_{s2}} + \frac{\varphi_{qr}}{L_r} \right) L_a \end{cases} \quad (2.32)$$

Avec :

$$L_a = \frac{1}{\frac{1}{L_m} + \frac{1}{L_{s1}} + \frac{1}{L_{s2}} + \frac{1}{L_r}} \quad (2.33)$$

En remplaçant le système d'équation (2.30) dans le système d'équation (2.17) et on le met sous forme d'un système d'équation d'état, en aura :

$$\begin{cases} \frac{d}{dt} \varphi_{ds1} = v_{ds1} - \frac{r_{s1}}{L_{s1}} (\varphi_{ds1} - \varphi_{md}) + \omega_s \varphi_{qs1} \\ \frac{d}{dt} \varphi_{qs1} = v_{qs1} - \frac{r_{s1}}{L_{s1}} (\varphi_{qs1} - \varphi_{mq}) - \omega_s \varphi_{ds1} \\ \frac{d}{dt} \varphi_{ds2} = v_{ds2} - \frac{r_{s2}}{L_{s2}} (\varphi_{ds2} - \varphi_{md}) + \omega_s \varphi_{qs2} \\ \frac{d}{dt} \varphi_{qs2} = v_{qs2} - \frac{r_{s2}}{L_{s2}} (\varphi_{qs2} - \varphi_{mq}) + \omega_s \varphi_{ds2} \\ \frac{d}{dt} \varphi_{dr} = 0 - \frac{r_r}{L_r} (\varphi_{dr} - \varphi_{md}) - \omega_{gl} \varphi_{qr} \\ \frac{d}{dt} \varphi_{qr} = 0 - \frac{r_r}{L_r} (\varphi_{qr} - \varphi_{mq}) + \omega_{gl} \varphi_{dr} \end{cases} \quad (2.34)$$

En développant ce système d'équation et en introduisant l'expression de  $\varphi_{md}$  et  $\varphi_{mq}$ , on trouvera :

$$\begin{cases}
\frac{d}{dt} \varphi_{ds_1} = v_{ds_1} - \left( \frac{r_{s_1}}{L_{s_1}} - \frac{r_{s_1} L_a}{L^2_{s_1}} \right) \varphi_{ds_1} + \frac{r_{s_1} L_a}{L_{s_1} L_{s_2}} \varphi_{ds_2} + \omega_s \varphi_{qs_1} + \frac{r_{s_1} L_a}{L_r L_{s_1}} \varphi_{dr} \\
\frac{d}{dt} \varphi_{qs_1} = - \left( \frac{r_{s_1}}{L_{s_1}} - \frac{r_{s_1} L_a}{L^2_{s_1}} \right) \varphi_{qs_1} + v_{qs_1} + \frac{r_{s_1} L_a}{L_{s_1} L_{s_2}} \varphi_{qs_2} - \omega_s \varphi_{ds_1} + \frac{r_{s_1} L_a}{L_r L_{s_1}} \varphi_{qr} \\
\frac{d}{dt} \varphi_{ds_2} = - \left( \frac{r_{s_2}}{L_{s_2}} - \frac{r_{s_2} L_a}{L^2_{s_2}} \right) \varphi_{ds_2} + v_{ds_2} + \frac{r_{s_2} L_a}{L_{s_1} L_{s_2}} \varphi_{ds_2} + \omega_s \varphi_{qs_2} + \frac{r_{s_2} L_a}{L_r L_{s_2}} \varphi_{dr} \\
\frac{d}{dt} \varphi_{qs_2} = - \left( \frac{r_{s_2}}{L_{s_2}} - \frac{r_{s_2} L_a}{L^2_{s_2}} \right) \varphi_{qs_2} + v_{qs_2} + \frac{r_{s_2} L_a}{L_{s_1} L_{s_2}} \varphi_{qs_2} - \omega_s \varphi_{ds_2} + \frac{r_{s_2} L_a}{L_r L_{s_2}} \varphi_{qr} \\
\frac{d}{dt} \varphi_{dr} = - \left( \frac{r_r}{L_r} - \frac{r_r L_a}{L^2_r} \right) \varphi_{dr} + \frac{r_r L_a}{L_r L_{s_1}} \varphi_{ds_1} + \omega_{gl} \varphi_{qr} + \frac{r_r L_a}{L_r L_{s_2}} \varphi_{ds_2} \\
\frac{d}{dt} \varphi_{qr} = - \left( \frac{r_r}{L_r} - \frac{r_r L_a}{L^2_r} \right) \varphi_{qr} + \frac{r_r L_a}{L_r L_{s_1}} \varphi_{qs_1} - \omega_{gl} \varphi_{dr} + \frac{r_r L_a}{L_r L_{s_2}} \varphi_{qs_2}
\end{cases} \quad (2.35)$$

On a alors :

$$B = \begin{bmatrix} 1 & 0 & 0 & 0 & 0 & 0 \\ 0 & 1 & 0 & 0 & 0 & 0 \\ 0 & 0 & 1 & 0 & 0 & 0 \\ 0 & 0 & 0 & 1 & 0 & 0 \\ 0 & 0 & 0 & 0 & 0 & 0 \\ 0 & 0 & 0 & 0 & 0 & 0 \end{bmatrix}$$

$$A = \begin{bmatrix} -\left( \frac{r_{s_1}}{L_{s_1}} - \frac{r_{s_1} L_a}{L^2_{s_1}} \right) & \frac{r_{s_1} L_a}{L_{s_1} L_{s_2}} & \omega_s & 0 & \frac{r_{s_1} L_a}{L_{s_1} L_{s_2}} & 0 \\ \frac{r_{s_2} L_a}{L_{s_1} L_{s_2}} & -\left( \frac{r_{s_2}}{L_{s_2}} - \frac{r_{s_2} L_a}{L^2_{s_2}} \right) & 0 & \frac{r_{s_2} L_a}{L_{s_1} L_{s_2}} & \frac{r_{s_2} L_a}{L_r L_{s_2}} & 0 \\ -\omega_s & 0 & -\left( \frac{r_{s_1}}{L_{s_1}} - \frac{r_{s_1} L_a}{L^2_{s_1}} \right) & -\frac{r_{s_1} L_a}{L_{s_1} L_{s_2}} & 0 & \frac{r_{s_1} L_a}{L_r L_{s_1}} \\ 0 & -\omega_s & \omega_s & -\left( \frac{r_{s_1}}{L_{s_1}} - \frac{r_{s_1} L_a}{L^2_{s_1}} \right) & 0 & \frac{r_{s_2} L_a}{L_r L_{s_2}} \\ \frac{r_{s_2} L_a}{L_{s_1} L_{s_2}} & \frac{r_{s_1} L_a}{L_{s_1} L_{s_2}} & 0 & 0 & -\left( \frac{r_{s_2}}{L_{s_2}} - \frac{r_{s_2} L_a}{L^2_{s_2}} \right) & \omega_{gl} \\ 0 & 0 & \frac{r_{s_1} L_a}{L_{s_1} L_{s_2}} & -\frac{r_r L_a}{L_r L_{s_2}} & -\omega_{gl} & -\left( \frac{r_{s_1}}{L_{s_1}} - \frac{r_{s_1} L_a}{L^2_{s_1}} \right) \end{bmatrix}$$

### II.3.3.6 Simulation numérique

La simulation numérique est bien connue aujourd'hui dans le domaine des machines électrique. Elle nous permet de modéliser, d'analyser et de simuler les systèmes utilisant beaucoup de précision. De nos jours il existe toute une série de programmes pour machine électrique.

Afin de simuler la MASDE, nous avons opté pour logiciel MATLAB. Les données de la machine utilisée en simulation sont données par la figure (II.3). Nous avons simulé la MASDE alimenté par deux sources de tension exprimées comme suite :

$$\begin{cases} v_{sa_1} = \sqrt{2} V_s \sin(\omega_s t) \\ v_{sb_1} = \sqrt{2} V_s \sin\left(\omega_s t - \frac{2\pi}{3}\right) \\ v_{sc_1} = \sqrt{2} V_s \sin\left(\omega_s t + \frac{2\pi}{3}\right) \end{cases}$$

$$\begin{cases} v_{sa_2} = \sqrt{2}V_s \sin(\omega_s t - \alpha) \\ v_{sb_2} = \sqrt{2}V_s \sin\left(\omega_s t - \alpha - \frac{2\pi}{3}\right) \\ v_{sc_2} = \sqrt{2}V_s \sin\left(\omega_s t - \alpha + \frac{2\pi}{3}\right) \end{cases}$$

Avec :

$V_s$  : La valeur efficace de tension.

$\omega_s$  : Pulsation d'alimentation.

```

Editor - C:\Users\LENOVO\Desktop\memoire syphax
progvect.m* x +
1 - Rs1=3.72;
2 - Rs2=3.72;
3 - Rr=2.12;
4 - Ls1=0.022;
5 - Ls2=0.022;
6 - Lr=0.006;
7 - Lm=0.3672;
8 - J=0.0625;
9 - Kf=0.001;
10 - P=1;
11 - La=1/((1/Lm)+(1/Ls1)+(1/Ls2)+(1/Lr));
12

```

Figure II. 3 : Les données de la machine

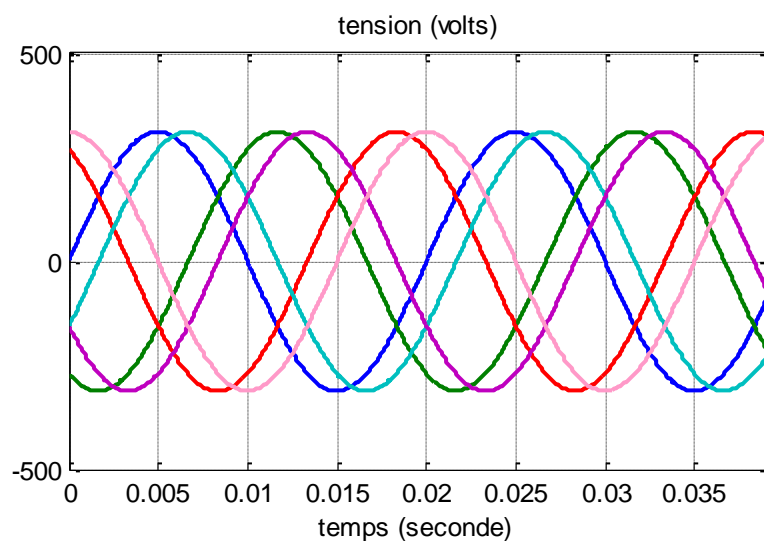
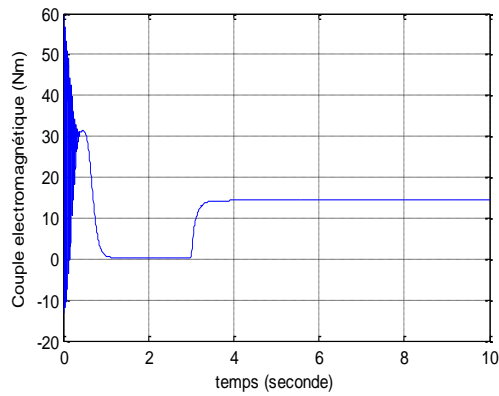
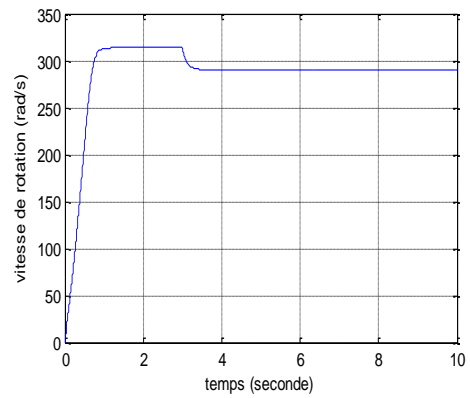


Figure II. 4 : Source de tensions triphasées décalées de 30°

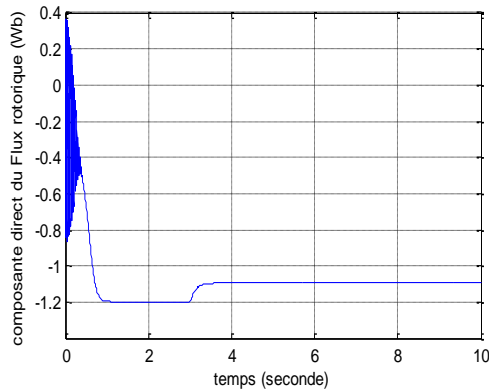
Les figures suivantes montreront clairement les résultats des simulations obtenus à partir d'un démarrage à vide du MASDE alimentée par deux systèmes de tension triphasés (220V-50) suivi de l'application d'une charge de 14 N.m à l'instant 3s.



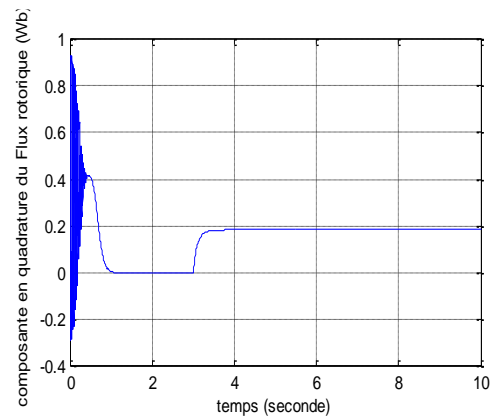
(a)



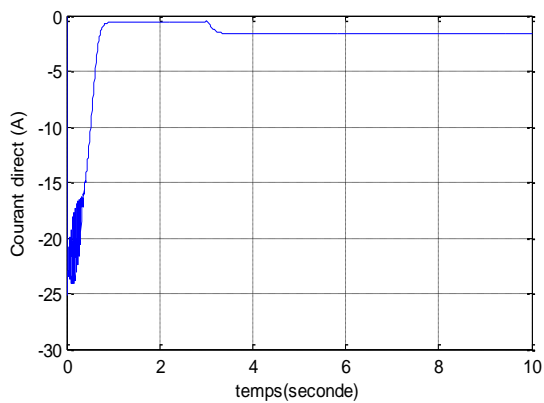
(b)



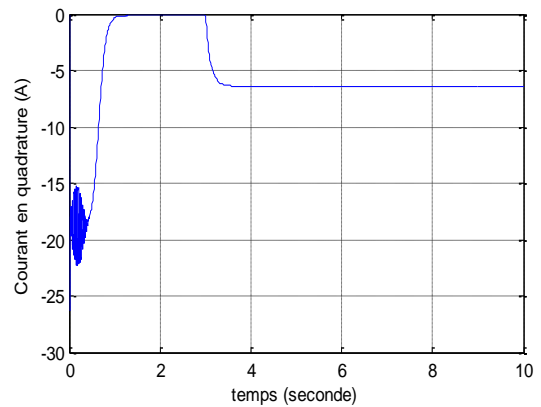
(c)



(d)



(e)



(f)

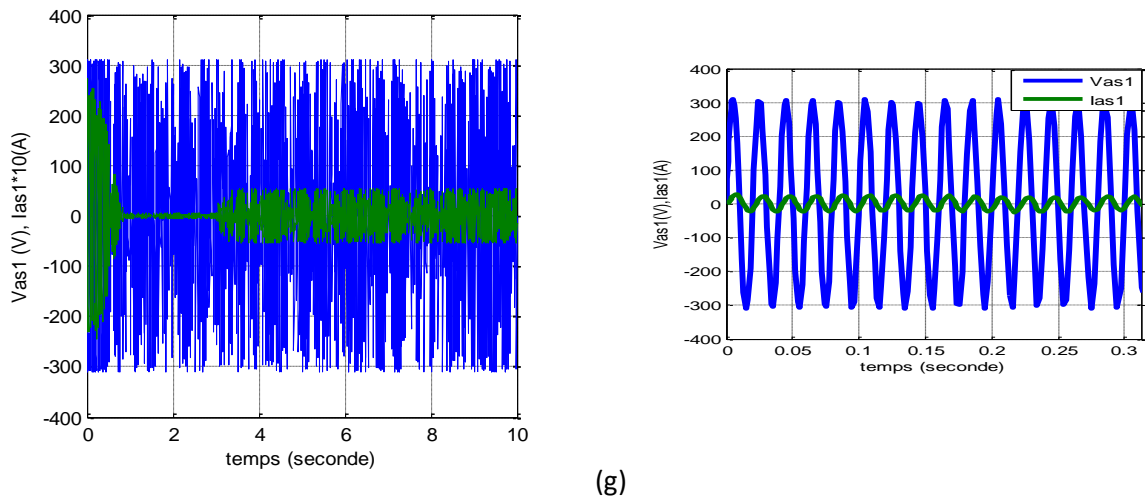


Figure II. 5 : Performance de la MASDE alimentée par le réseau électrique

### Interprétation des résultats

Les performances de la conduite de la machine asynchrone double étoile en fonctionnement en charge montrent que :

En appliquant une charge 14 N.m à  $t=3s$ , le couple électromagnétique tend vers la valeur du couple résistant en régime permanent. On remarque une diminution de la vitesse de la rotation et une augmentation du courant statorique et du courant de barre à l'instant d'application du couple résistant.

Les courants statoriques  $i_{as_1}$  et  $i_{as_2}$  des deux étoiles sont déphasés de  $30^\circ$  et leurs amplitudes maximales sont égales. La forme des courants statoriques en régime permanent est parfaitement sinusoïdale.

## II.3.4 Alimentation de la MASDE par onduleur de tension a commande MLI

### II.3.4.1 Modélisation de l'onduleur

Un onduleur autonome, a commande adjacente ou MLI, est un conservateur statique qui assure la transformation de l'énergie d'une source continue en une énergie alternative, qui peut-être a fréquence fixe ou variable [15] [16].

Le contrôle de la vitesse et du couple de la MASDE se réalise par action simultanée sur la fréquence et sur l'amplitude de la tension statorique, a base d'onduleur de tension a fréquence variable. Chaque étoile de la MASDE est connectée a un onduleur triphasée a commutations commandées. Ce dernier est constitué de trois branches ou chacune est composée de deux paires d'interrupteurs supposées parfaits et dont les commande sont disjonctes et complémentaires, chaque interrupteur est présentée par une paire transistor-

diode, qui est modélisé par deux états définis par la fonction de connexion logique suivant :

$$f_i = \begin{cases} +1 & \text{si } k_i \text{ est fermé, } k'_i \text{ est ouvert} \\ 0 & \text{si } k_i \text{ est ouvert, } k'_i \text{ est fermé} \end{cases}$$

Avec :

$$f_i + \bar{f}_i = 1 \text{ est } i = 1 \dots 3$$

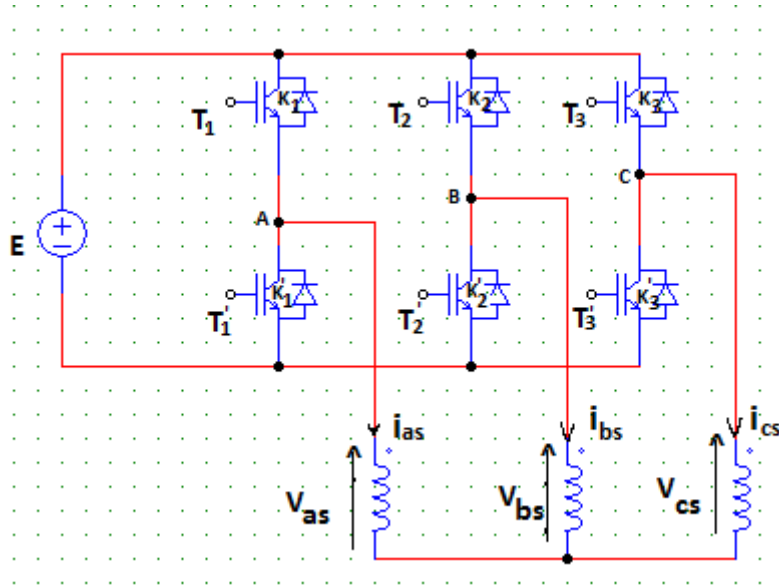


Figure II. 6 : schéma onduleur de tension triphasée

Ainsi les tensions composées sont données par :

$$V_{AB} = v_{sa_1} - v_{bs_1} = E (f_1 - f_2) \tag{2.36}$$

$$V_{BC} = v_{bs_1} - v_{cs_1} = E (f_2 - f_3) \tag{2.37}$$

$$V_{CA} = v_{cs_1} - v_{as_1} = E (f_3 - f_1) \tag{2.38}$$

Les tensions simple  $v_{as_1}, v_{bs_1}, v_{cs_1}$  forment un système triphasée équilibre, tel que :

$$v_{as_1} + v_{bs_1} + v_{cs_1} = 0 \tag{2.39}$$

La résolution des équations (2.36), (2.37), (2.38) et (2.39) nous donne :

$$\begin{bmatrix} v_{as_1} \\ v_{bs_1} \\ v_{cs_1} \end{bmatrix} = \frac{E}{3} \begin{bmatrix} 2 & -1 & -1 \\ -1 & 2 & -1 \\ -1 & -1 & 2 \end{bmatrix} \begin{bmatrix} f_1 \\ f_2 \\ f_3 \end{bmatrix} \tag{2.40}$$

Pour la seconde onduteur, on obtient :

$$\begin{bmatrix} v_{as_2} \\ v_{bs_2} \\ v_{cs_2} \end{bmatrix} = \frac{E}{3} \begin{bmatrix} 2 & -1 & -1 \\ -1 & 2 & -1 \\ -1 & -1 & 2 \end{bmatrix} \begin{bmatrix} f_4 \\ f_5 \\ f_6 \end{bmatrix} \quad (2.41)$$

### II.3.4.2 Commande par modulation sinus-triangle

La MLI sinus-triangle elle est réalisée en comparant une onde modulante de basse fréquence (tension de référence) à une onde porteuse de forme triangulaire de haute fréquence.

Les instants de commutation sont déterminés par les points d'intersection entre la porteuse et le moduler. La fréquence de commutation des commutateurs est fixée par porteuse [10].

Les tensions de référence sinusoïdales sont exprimées par :

➤ Pour la première étoile :

$$\begin{cases} v_{réfa_1} = V_m \sin(2\pi ft) \\ v_{réfb_1} = V_m \sin(2\pi ft - \frac{2\pi}{3}) \\ v_{réfc_1} = V_m \sin(2\pi ft - \frac{4\pi}{3}) \end{cases} \quad (2.42)$$

➤ Pour la deuxième étoile :

$$\begin{cases} v_{réfa_2} = V_m \sin(2\pi ft - \alpha) \\ v_{réfb_2} = V_m \sin(2\pi ft - \alpha - \frac{2\pi}{3}) \\ v_{réfc_2} = V_m \sin(2\pi ft - \alpha - \frac{4\pi}{3}) \end{cases} \quad (2.43)$$

Equation de la porteuse triangulaire est exprimée par :

$$V_p(t) = \begin{cases} V_{pm} [4(t/T_p) - 1] & \text{si } 0 \leq t \leq T_p/2 \\ V_{pm} [-4(\frac{t}{T_p}) + 3] & \text{si } T_p/2 \leq t \leq T_p \end{cases} \quad (2.44)$$

Ou :

$T_p$  : Période de la porteuse.

$V_{pm}$  : Amplitude de la porteuse.

Cette technique est caractérisée par les deux paramètres suivants :

➤ L'indice de modulation  $m$  représente le rapport de la fréquence modulation ( $f_p$ ) sur

la fréquence de référence. 
$$m = \frac{f_p}{f}$$

➤ Le coefficient de réglage en tension  $r$  représente le rapport de l'amplitude de la tension de référence ( $V_m$ ) à la valeur crête de l'onde de modulation ( $V_{pm}$ ).

$$r = \frac{v_m}{v_{pm}}$$

### II.3.4.3 Association de la MASDE-onduleurs de tension a commande MLI

La représentations schématique de la MASDE avec deux onduleurs de tensions a commande MLI sinus-triangle est illustré par la figure suivante :

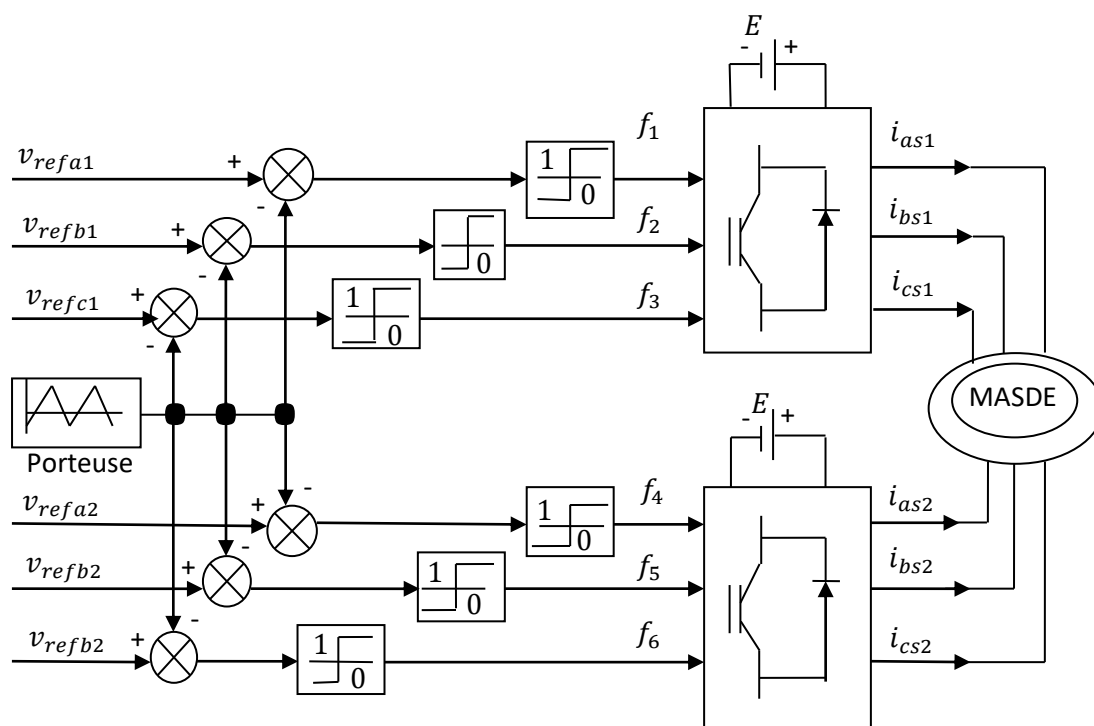


Figure II. 7 : Association MASDE-sources sinusoïdales

Pour la simulation, on va implanter le modèle électrique de la MASDE sous l'environnement Matlab/Simulink. La simulation est effectuée avec un décalage angulaire  $\alpha = 30^\circ$ .

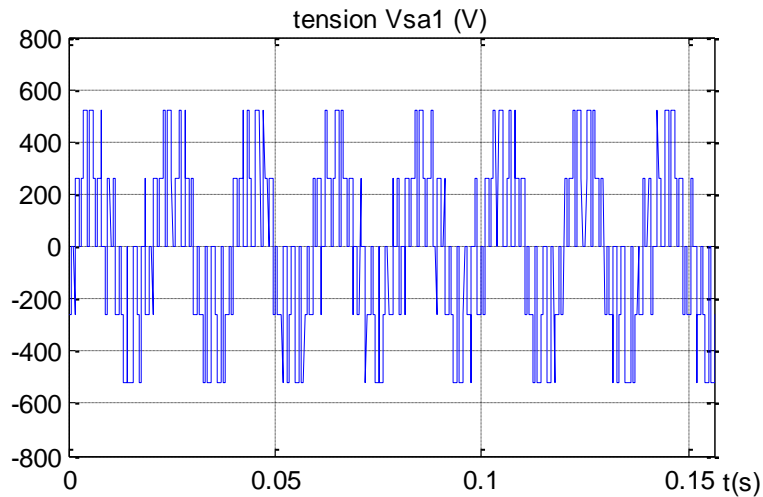


Figure II. 8 : Les fonctions sinus-triangle

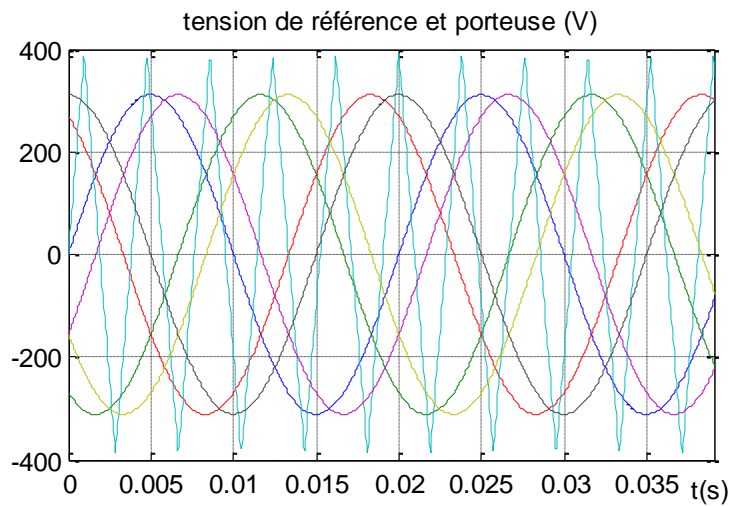
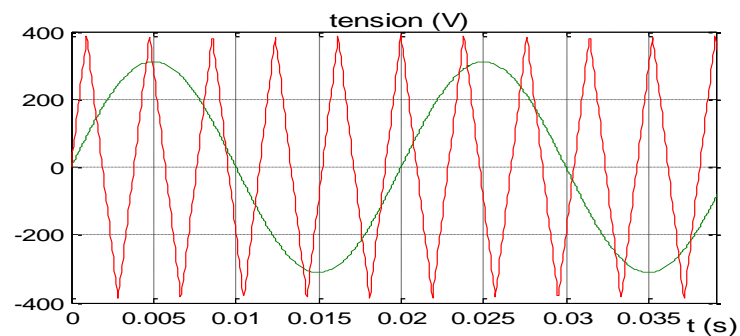
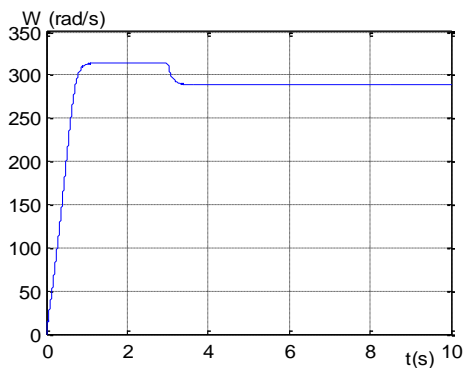
Figure II. 9 : Tension simple  $V_{as}$ 

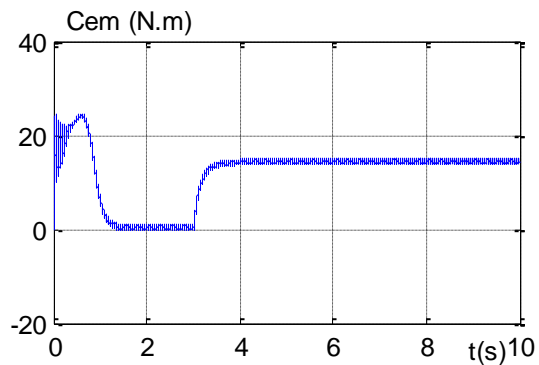
Figure II. 10 : Intersection tensions de référence et la porteuse

Pour les besoins industrielle, la machine est alimentée via des onduleurs de tensions. En effet les deux système d'enroulement logés dans la partie fixe de la machine sont alimentée par deux onduleurs commandés par modulation de largeurs d'impulsions sinus triangle. Après un demarage a vide, la machine est testée pour un fonctionnement en mode

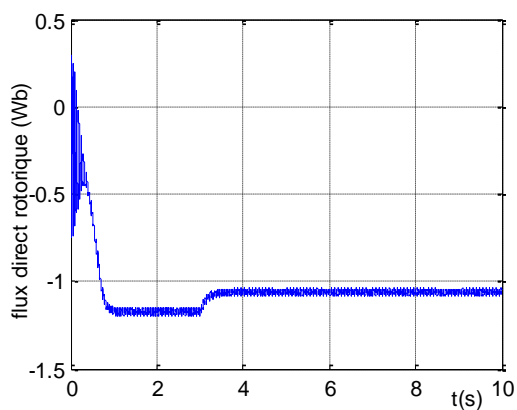
moteur, par l'application d'un couple résistant égale a «  $C_r = 14 \text{ Nm}$  », dans un laps de temps [3sec].



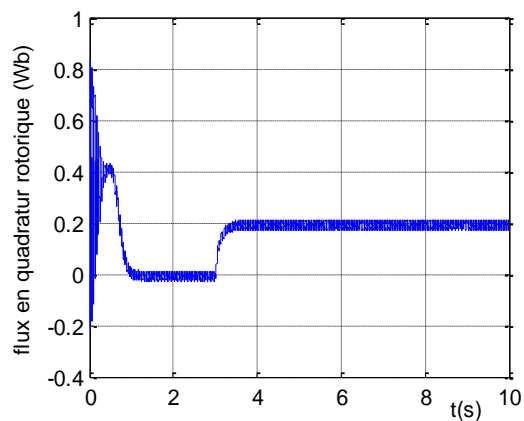
(a)



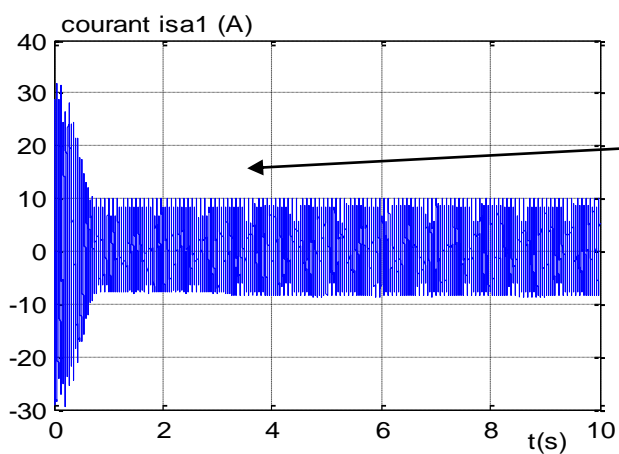
(b)



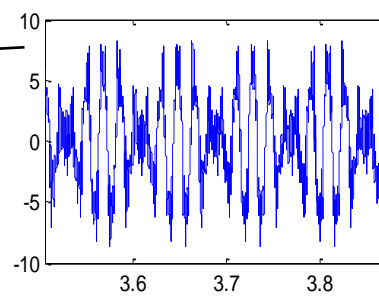
(c)



(d)



(e)



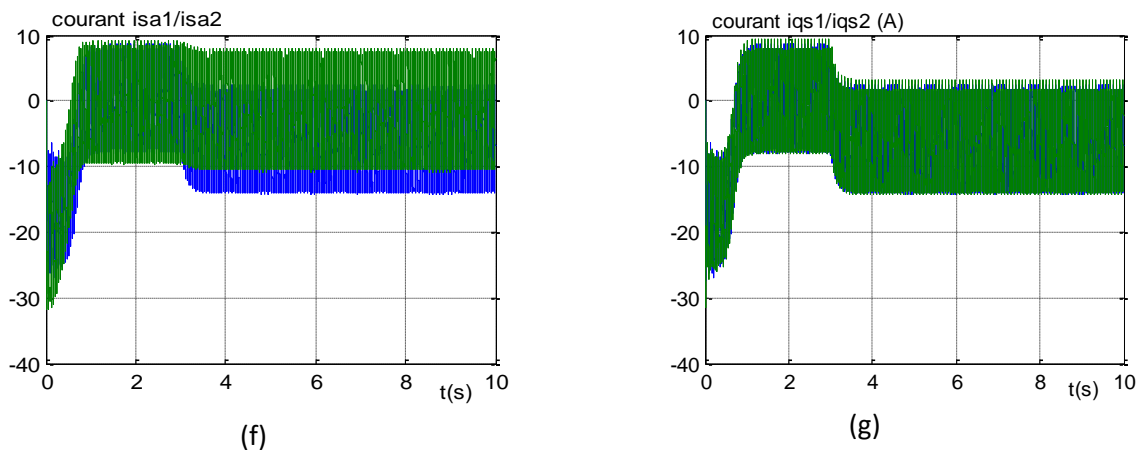


Figure II. 11 : Performance de la MASDE alimentée par deux onduleurs de tension en charge

### Interprétation des résultats

La vitesse a la même allure que pour le test effectué avec la machine alimentée directement par les sources de tension. La figure (II.11) montre qu'au démarrage, la vitesse atteint «  $N = 313.58 \text{ rd/s}$  » avant que la charge ne soit connectée ou que la vitesse de rotation chute à «  $N = 290.30 \text{ rd/s}$  » à partir de «  $t=3\text{s}$  ».

Pour une alimentation par onduleur de tension, le couple circule exactement de la même manière que pour une alimentation secteur qui équilibre modes de fonctionnement de la machine. Cependant, il n'est pas possible de ne pas remarquer les ondulations de couple autour de la valeur rapportée par la charge. Les ondulations entre «  $-4 \text{ Nm}$  » et «  $4 \text{ Nm}$  » sont principalement dues à la présence d'harmonique créées par onduleurs de tension.

L'apparence du flux rotorique direct et du flux rotorique en quadrature concorde de très près avec l'allure du couple électromagnétique.

Tableau II. 1 : Performance de la MASDE alimentée par deux onduleurs de tension en charge

	Vide [0sec – 3sec]	Charge [3sec – $+\infty$ ]
Flux direct rotorique $\varphi_{dr} [Wb]$	-1.22	-1.09
Flux en quadrature rotorique $\varphi_{qr} [Wb]$	-0.005	0.18

Les courants direct et en quadrature évoluent de manière similaire à la vitesse de rotation. Selon le mode de fonctionnement, les valeurs des deux composantes du courant rotorique varient en fonction de la forme de la vitesse. La figure (II.11) où est tracé les courants direct et en quadratures montreront très clairement les ondulations autour du « consigne ».

Au démarrage, tout comme lors de l'alimentation directe de la machine sur le réseau électrique, les courants absorbés par les deux étoiles du stator atteignent des valeurs de quatre à cinq fois les valeurs nominales, ce qui peut endommager la machine. L'état stable est rapidement atteint après une période de «  $t = 0.4$  seconde ». Les valeurs obtenues lors de ce test sont légèrement supérieures à celles constatées lors de l'alimentation directe sur le réseau électrique. Ainsi à vide, la machine absorbe un courant de presque « 2 A » et en charge, le courant absorbé est de « 4 A ». Ces ondulations et cette légère augmentation des valeurs des courants sont essentiellement dues à l'alimentation de la machine par des onduleurs de tension.

## II.4 Conclusion

Ce chapitre est consacré à la création d'un modèle mathématique de la MASDE basé sur une théorie unifiée des machines électriques avec des centaines d'hypothèses simplificatrices.

L'étude des caractéristiques de la MASDE alimentée directement à partir des sources sinusoïdales, puis à partir des onduleurs de tensions avec commande MLI a été accomplie.

Le processus de démarrage du moteur, suivi de l'application d'une charge a été simulé par le logiciel MATLAB/ SIMULINK.

L'insertion de la charge dans les deux cas d'alimentations engendre une variation de la vitesse, ce qui nécessite une régulation.

Dans le chapitre suivant on s'intéresse à la régulation de vitesse de la machine par la commande vectorielle.

---

# **Chapitre III**

**Commande vectorielle de la machine  
asynchrone à double étoile**

---

### III.1 Introduction

La commande vectorielle à été introduite pour la première fois par Blascke en 1972 [17]. Ce pendant, il n'a pu être mis en œuvre et effectivement utilisé que grâce aux progrès de la micro-électronique. En effet, il nécessite des calculs de transformée de Park, d'évaluation de fonctions trigonométrique, des intégrations, des régulations etc., ce qui ne pourrait se faire en analogique pur.

L'objet de ce chapitre est de permettre l'application de ces techniques de commande à une machine asynchrone double étoile, notamment la commande vectorielle pour régler la vitesse de la machine.

### III.2 Origines de la commande vectorielle

Les débuts de la commande vectorielle, contrairement aux idées reçues, remontent à la fin du XIX<sup>ème</sup> siècle et aux travaux d'A. Blondel sur la théorie de la réaction à deux axes. Cependant, compte tenu de la technologie de l'époque, il n'était pas question de transférer cette théorie au contrôle des machines électriques. Ce n'est qu'à la fin des années 1950 que l'idée du contrôle vectorielle, également connu sous le nom de contrôle orienté flux, à germé en raison de l'utilisation de la méthode temporelle en Europe de l'Est [18].

### III.3 Principe de la commande vectorielle

Le principe de la commande vectorielle (ou commande de flux orienté) est de diriger l'une des composantes de flux du stator, du rotor ou de l'entrefer vers l'axe du référentiel tournant à la vitesse  $\omega_s$ .

Ce principe de commande d'écoulée, conditionnant le fonctionnement stable du moteur asynchrone est la principale caractéristique de la commande vectorielle conduisant aux hautes performances industrielles des entraînements asynchrone (machine de papeterie, laminoirs, traction électrique etc.) supportant les perturbations de la charge [18] [19].

Pour la machine asynchrone double étoile, la commande vectorielle consiste à réaliser un découplage des grandeurs génératrices du couple électromagnétique et du flux rotorique. Pour cela, il faut choisir de la commande et un système d'axes assure le découplage du flux et du couple.

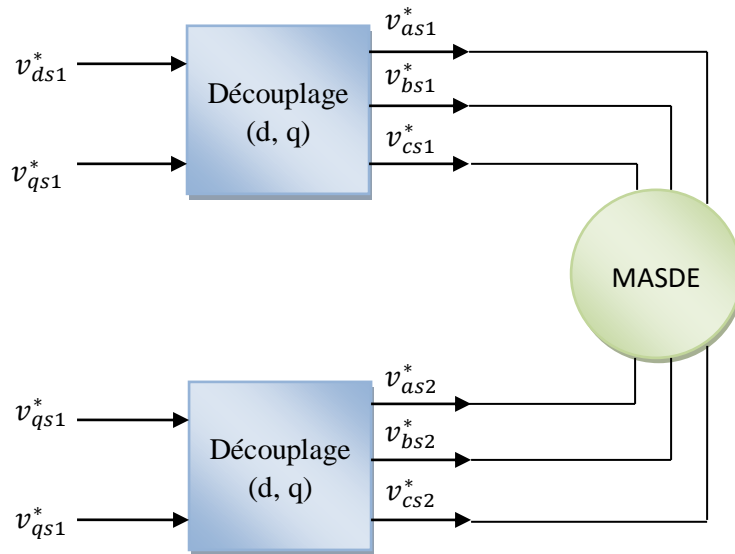


Figure III. 1 : Principe de pilotage vectoriel de la MASDE

Sachant que l'expression du couple électromagnétique (2.27) de la machine asynchrone à double étoile est en fonction des courants statorique et des flux rotorique. En choisissant l'orientation du flux rotorique suivant l'axe direct  $d$  ( $\varphi_{dr} = \varphi_r, \varphi_{qr} = 0$ ), on aura la forme du couple suivante :

$$C_{em} = p \frac{L_m}{L_m + L_r} \varphi_r (i_{qs_1} + i_{qs_2}) = K'' \varphi_r i_{qs} \quad (3.1)$$

Avec :

$$K'' = p \frac{L_m}{L_m + L_r}, \quad \text{et} \quad i_{qs} = (i_{qs_1} + i_{qs_2})$$

D'après l'équation (3.1), nous constatons que le couple électromagnétique résulte de l'interaction d'un terme de flux et d'un terme de courant.

### III.4 Choix d'orientation du flux

Il existe trois types d'orientation du flux :

- Orientation de flux rotorique avec les conditions :

$$\psi_{dr} = \psi_r \quad \psi_{qr} = 0 \quad (3.2)$$

- Orientation de flux statorique avec les conditions :

$$\psi_{ds} = \psi_s \quad \psi_{qs} = 0 \quad (3.3)$$

- Orientation de flux d'entrefer avec les conditions :

$$\psi_{dm} = \psi_m \quad \psi_{qm} = 0 \quad (3.4)$$

Pour le MASDE, nous avons choisi l'orientation du flux du rotor car elle permet la protection d'un variateur de vitesse ou le flux et le couple électromagnétique sont contrôlés indépendamment par les courant statorique.

Si on considère le flux rotorique avec l'axe (d) de référentiel lie au champ tournant, c'est-à-dire :

$$\psi_{dr} = \psi_r \quad ; \quad \psi_{qr} = 0$$

$$C_{em} = p \frac{L_m}{L_m + L_r} [(i_{qs_1} + i_{qs_2})\psi_{dr} - (i_{ds_1} + i_{ds_2})\psi_{qr}] \quad (3.5)$$

L'équation devient :

$$C_{em} = p \frac{L_m}{L_m + L_r} [(i_{qs_1} + i_{qs_2})\psi_{dr} = K\psi_r i_{qs}] \quad (3.6)$$

Avec :

$$i_{qs} = i_{qs_1} + i_{qs_2}$$

$$K = p \frac{L_m}{L_m + L_r}$$

D'après l'équation nous constatons que le couple électromagnétique résulte de l'interaction d'un terme de flux et d'un terme de courant. Cette expression fait référence au couple de la machine à courant continue à excitation séparée. On en conclut donc que le fonctionnement de la machine asynchrone double étoile, avec sa commande vectorielle est similaire à celui de la machine à courant continue à excitation séparée.

### III.5 Méthode de la commande vectorielle

Tous les travaux de recherche menés sur le sujet utilisant deux méthodes principales. La première méthode dite directe à été initiée par F.Blaschke et la seconde connue sous le nom de méthode indirecte elle à été introduite par k.Hasse.

### III.5.1 Méthode direct

Cette méthode nécessite une bonne connaissance du module du flux et de sa phase, qui doit être vérifié quel que soit le régime de fonctionnement [20]. Soit que deux procédés sont utilisés :

- la mesure du flux dans l'entrefer de la machine à l'aide de capteur. L'inconvénient principal de cette technique réside dans le fait que les capteurs du flux sont mécaniquement fragiles et ne peuvent pas fonctionner dans des conditions sévères telles que les vibrations et les échauffements excessifs.
- L'estimation du flux à l'aide des méthodes mathématiques. Cette méthode est sensible aux variations des paramètres de la machine.

### III.5.2 Méthode indirecte

Le principe de cette méthode est qu'on n'utilise pas l'amplitude du flux de rotor, mais seulement sa position. La description 'méthode indirecte' signifie que l'on peut éliminer l'estimateur du flux, mais cela nécessite la présence d'un capteur de position du rotor. Cette méthode est sensible au changement des paramètres de la machine [21].

## III.6 Commande vectorielle indirecte sans réglage de vitesse

Les lois de commande sont obtenues à partir des équations de la MASDE liées au champ tournant et sont dérivées de la relation donnant la vitesse de glissement par la direction du flux rotorique ou la position du flux. Le flux rotorique  $\varphi_r^*$  et le couple électromagnétique  $C_{em}^*$  sont considérés comme des grandeurs de référence. La figure (III.2) montre un schéma bloc simplifié de la commande à flux orienté.

En exprimant que :

$$\varphi_{dr} = \varphi_r^* \quad (3.7)$$

$$\varphi_{qr} = 0 \quad (3.8)$$

Et en remplaçant (3.7), (3.8) dans les équations de tension rotorique (2.17), on obtient :

$$r_r i_{dr} = 0 \Rightarrow i_{dr} = 0 \quad (3.9)$$

$$r_r i_{qr} + \omega_{gl}^* \varphi_r^* = 0 \Rightarrow i_{qr} = -\frac{\omega_{gl}^* \varphi_r^*}{r_r} \quad (3.10)$$

Et à partir des équations (2.25) et (2.26), on trouve :

$$i_{dr} = \frac{1}{L_m + L_r} [\varphi_r^* - L_m(i_{ds_1} + i_{ds_2})] \quad (3.11)$$

$$i_{qr} = -\frac{1}{L_m + L_r} (i_{qs_1} + i_{qs_2}) \quad (3.12)$$

En introduisant (3.11) et (3.12) dans le système d'équations des flux statorique (2.19), on aura :

$$\begin{cases} \varphi_{ds_1} = \lambda_1 i_{ds_1} + L_r \mu i_{ds_2} + \mu \varphi_r^* \\ \varphi_{qs_1} = \lambda_1 i_{qs_1} + L_r \mu i_{qs_2} \\ \varphi_{ds_2} = \lambda_2 i_{ds_2} + L_r \mu i_{ds_1} + \mu \varphi_r^* \\ \varphi_{qs_2} = \lambda_2 i_{qs_2} + L_r \mu i_{qs_1} \end{cases} \quad (3.13)$$

Avec :

$$\mu = \frac{L_m}{L_m + L_r} \text{ et } \lambda_{1,2} = L_{s1,2} + L_r \mu$$

En substituant (3.9) dans (3.11), on tire :

$$\varphi_r^* = L_m (i_{ds_1} + i_{ds_2}) \quad (3.14)$$

A partir de l'équation (3.12), on trouve :

$$L_m (i_{qs_1} + i_{qs_2}) = -(L_m + L_r) i_{qr} \quad (3.15)$$

En remplaçant (3.13) a (3.15) dans le système d'équations des tensions statorique (2.17) et en introduisant l'expression (3.10), on obtient :

$$\begin{cases} v_{ds_1}^* = r_1 i_{ds_1} + L_{s1} P i_{ds_1} - \omega_s^* (L_{s1} i_{qs_1} + \tau_r \varphi_r^* \omega_{gl}^*) \\ v_{qs_1}^* = r_{s1} i_{qs_1} + L_{s1} P i_{qs_1} + \omega_s^* (L_{s1} i_{ds_1} + \varphi_r^*) \\ v_{ds_2}^* = r_{s2} i_{ds_2} + L_{s2} P i_{ds_2} - \omega_s^* (L_{s2} i_{qs_2} + \tau_r \varphi_r^* \omega_{gl}^*) \\ v_{qs_2}^* = r_{s2} i_{qs_2} + L_{s2} P i_{qs_2} + \omega_s^* (L_{s2} i_{ds_2} + \varphi_r^*) \end{cases} \quad (3.16)$$

Avec :  $\tau_r = \frac{L_r}{r_r}$  et  $\omega_{gl}^* = \omega_s^* - \omega_r$

P : Operateur de la Laplace.

En introduisant l'équation (3.10) dans (3.12), on tire :

$$\omega_{gl}^* = \frac{r_r L_r}{(L_m + L_r)} \frac{(i_{qs_1} + i_{qs_2})}{\varphi_r^*} \quad (3.17)$$

A partir de la relation (3.3), on trouve :

$$(i_{qs_1} + i_{qs_2}) = \frac{(L_m + L_r) C_{em}^*}{P L_m \varphi_r^*} \quad (3.18)$$

Le système d'équation électrique (3.16) montre que les tensions ( $v_{ds_1}^*$ ,  $v_{qs_1}^*$ ,  $v_{ds_2}^*$ ,  $v_{qs_2}^*$ ) influent au même temps sur les composantes des courants statorique directes et en quadrature ( $i_{ds_1}^*$ ,  $i_{qs_1}^*$ ,  $i_{ds_2}^*$ ,  $i_{qs_2}^*$ ), donc sur le flux et sur le couple. Il est alors nécessaire de réaliser un découplage. Cela en définissant de nouvelle variable  $V_{ds_{1r}}$ ,  $V_{qs_{1r}}$ ,  $V_{ds_{2r}}$  et  $V_{qs_{2r}}$  n'agissant respectivement que sur  $I_{ds_1}$ ,  $I_{qs_1}$ ,  $I_{ds_2}$ ,  $I_{qs_2}$  tels que :

$$\begin{cases} v_{ds_{1r}} = r_{s1} i_{ds_1} + L_{s1} P i_{ds_1} \\ v_{qs_{1r}} = r_{s1} i_{qs_1} + L_{s1} P i_{qs_1} \\ v_{ds_{2r}} = r_{s2} i_{ds_2} + L_{s2} P i_{ds_2} \\ v_{qs_{2r}} = r_{s2} i_{qs_2} + L_{s2} P i_{qs_2} \end{cases} \quad (3.19)$$

Afin de composer l'erreur introduite lors de découplage, les tensions statorique de référence a flux constant sont exprimées par :

$$\begin{cases} v_1^* = v_{ds_{1r}} - v_{ds_{1c}} \\ v_{qs_1}^* = v_{qs_{1r}} + v_{qs_{1c}} \\ v_{ds_2}^* = v_{ds_{2r}} - v_{ds_{2c}} \\ v_{qs_2}^* = v_{qs_{2r}} + v_{qs_{2c}} \end{cases} \quad (3.20)$$

$$\begin{cases} v_{ds_{1c}} = \omega_s^* (L_{s1} i_{qs_1} + \tau_r \varphi_r^* \omega_{gl}^*) \\ v_{qs_{1c}} = \omega_s^* (L_{s1} i_{ds_1} + \varphi_r^*) \\ v_{ds_{2c}} = \omega_s^* (L_{s2} i_{qs_2} + \tau_r \varphi_r^* \omega_{gl}^*) \\ v_{qs_{2c}} = \omega_s^* (L_{s2} i_{ds_2} + \varphi_r^*) \end{cases} \quad (3.21)$$

### III.6.1 Identifications des paramètres des régulateurs PI

L'identification des paramètres des régulateurs PI des systèmes dont la fonction de transfert est du première ordre, telle que :

$$H(P) = \frac{1}{\alpha P + b} \quad (3.22)$$

Se fait d'une manière générale comme suit :

La fonction de transfert de régulateur PI est donnée par :

$$C(P) = K_p + \frac{K_i}{P} \quad (3.23)$$

Le schéma représentatif de la boucle de régulation d'un système asservi du premier ordre à retour unitaire régulé par un PI est donné par la figure (III.2).

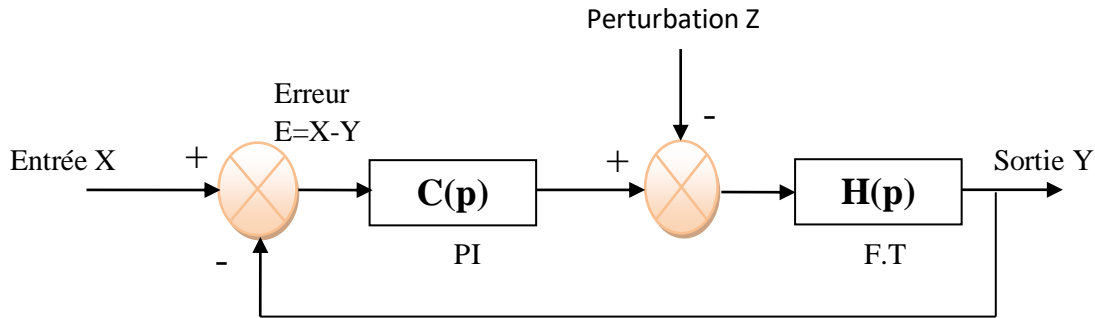


Figure III. 2 : Schéma d'un système asservi de premier ordre régulé par un PI

La perturbation est négligée dans les étapes d'identification des paramètres des régulateurs. La fonction de transfert en boucle ouverte du système asservi est :

$$T(P) = C(P)H(P) = \frac{K_p P + K_i}{\alpha P^2 + bP} \quad (3.24)$$

En boucle fermée, on obtient :

$$F(P) = \frac{T(P)}{1+T(P)} = \frac{K_p P + K_i}{\alpha P^2 + (b + K_p)P + K_i} \quad (3.25)$$

$$C(P) = \frac{1}{TP+1} \quad (3.26)$$

Il suffit d'identifier (3.25) et (3.26) comme suit :

$$\frac{K_p P + K_i}{\alpha P^2 + (b + K_p)P + K_i} = \frac{1}{TP+1} \quad (3.27)$$

Ce qui donne :

$$K_p TP^2 + (K_i T + K_p)P + K_i = \alpha P^2 + (b + K_p)P + K_i \quad (3.28)$$

D'où :

$$\begin{cases} K_p = \frac{\alpha}{T} \\ K_i = \frac{b}{T} \end{cases} \quad (3.29)$$

Le schéma de la boucle de régulation des courants statorique (étoile 1 et 2) :

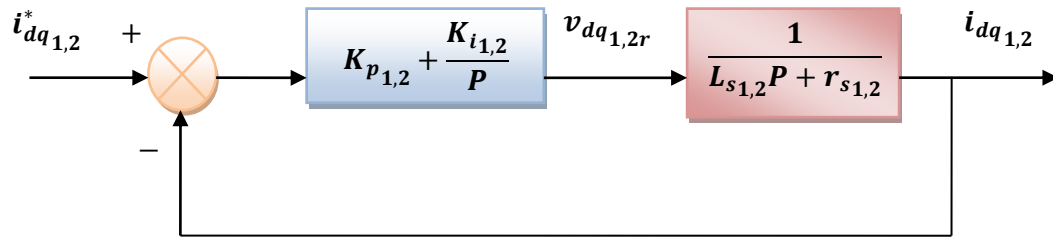


Figure III. 3 : Schéma de la boucle de régulation des courants statorique

Avec :

$$\begin{cases} K_{Ps1} = \frac{L_{s1}}{T} \\ K_{is1} = \frac{r_{s1}}{T} \end{cases} \quad \text{et} \quad \begin{cases} K_{Ps2} = \frac{L_{s2}}{T} \\ K_{is2} = \frac{r_{s2}}{T} \end{cases} \quad (3.30)$$

Pour avoir une dynamique du processus, on prend  $T = \frac{\tau_r}{6}$ , avec  $\tau_r = \frac{L_r}{r_r}$  représente la constante de temps électrique (rotorique) du système.

### III.6.2 Applications de la commande vectorielle indirecte sur la MASDE

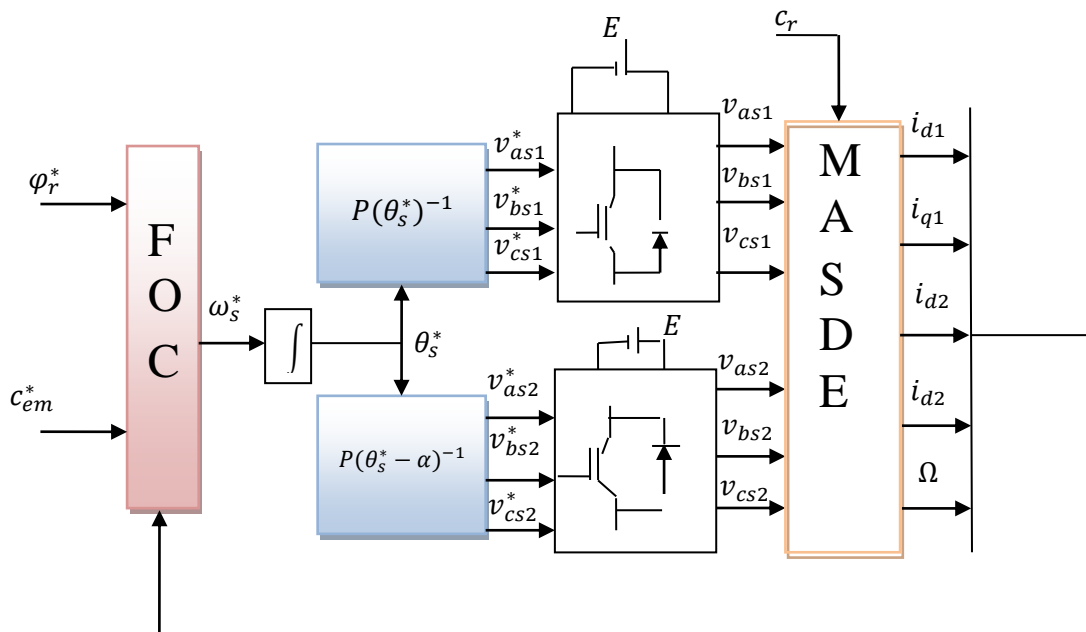


Figure III. 4 : Représentations schématique de la commande FOC sur la MASDE

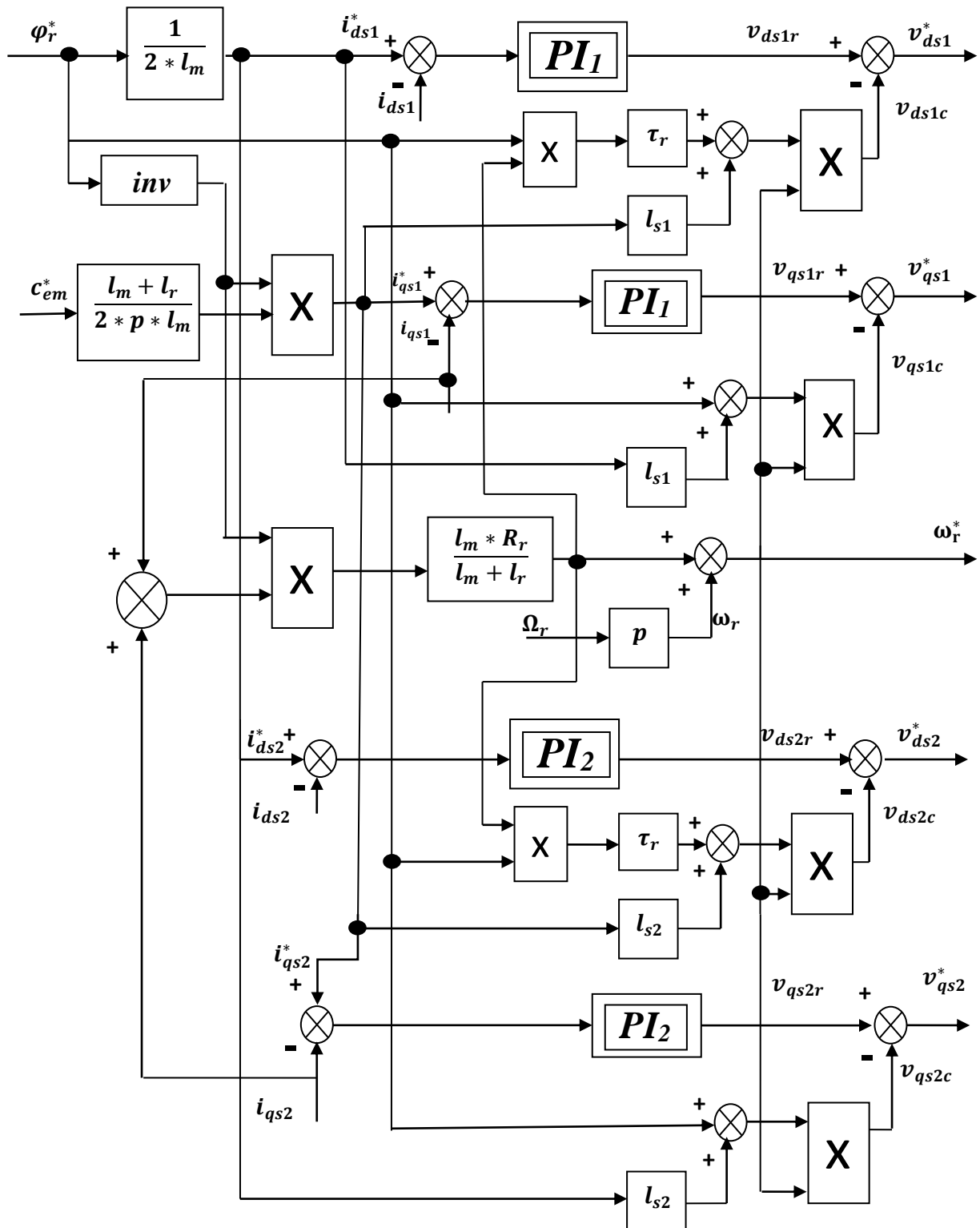


Figure III. 5 : Représentation schématique du bloc de découplage FOC

### III.6.3 Simulation

La figure (III.6) représente l'évolution des caractéristiques de la MASDE par la commande vectorielle indirecte sans réglage de vitesse (par orientation du flux rotorique), en commandant le flux de référence  $\varphi_r^* = 1 \text{ Wb}$ , et le couple électromagnétique de référence sous forme de créneaux  $C_{em}^* = [14, -14, 10] \text{ N.m}$  respectivement entre les intervalles de temps  $t = [0 \ 2] \text{ s}$ ,  $[2 \ 4] \text{ s}$ ,  $[4 \ 6] \text{ s}$ .

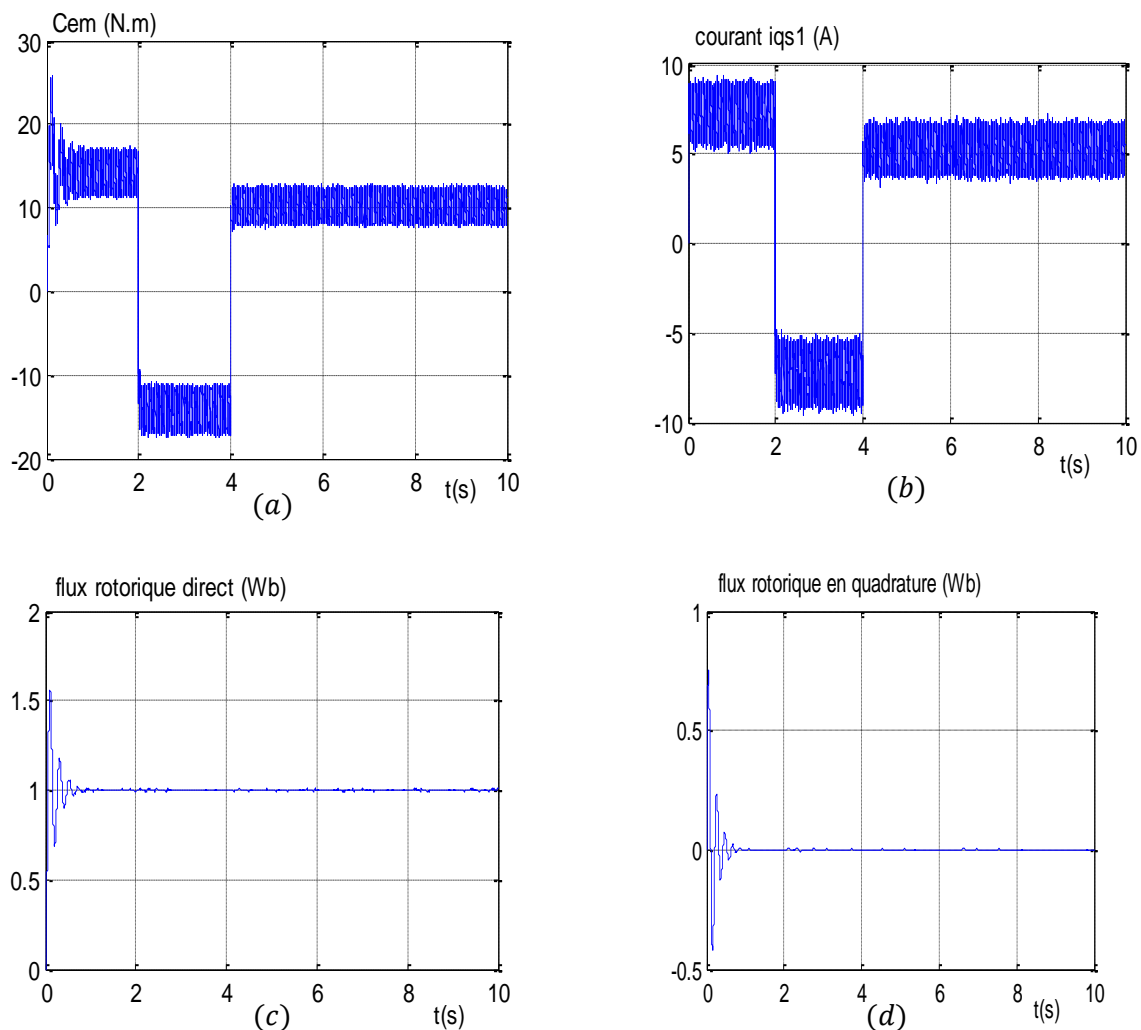


Figure III. 6 : L'évolution des caractéristiques de la MASDE par la commande vectorielle indirecte sans réglage de vitesse

D'après les résultats obtenus on remarque qu'en régime permanent le couple électromagnétique suit parfaitement le couple de référence imposé, le flux rotorique suivant l'axe direct demeure stable et égale à la valeur imposée (1 Wb), celui en quadrature s'annule.

Nous remarquons que la valeur brusque du couple électromagnétique n'influe pas sur le flux rotorique représenté par les composantes  $\varphi_{dr}$  et  $\varphi_{qr}$ , le courant en quadrature  $I_{qr}$  varie d'une manière identique à celle du couple électromagnétique. Le découplage est assuré, du fait que le flux rotorique est régulé indépendamment du couple électromagnétique régulé par les composantes des courants statorique en quadrature.

### III.7 Commande vectorielle indirecte avec régulation de vitesse

Le principe de cette méthode, consiste à déterminer directement la composante du flux rotorique à partir de la vitesse mécanique de rotation du rotor en utilisant un capteur de vitesse, cela est réalisable pour un bloc de défluxage défini par la fonction non linéaire suivante :

$$\begin{cases} \varphi_r^* = \phi_n & \text{si} & |\Omega| \leq \Omega_n \\ \varphi_r^* = \phi_n = \frac{\Omega_n}{|\Omega|} & \text{si} & |\Omega| > \Omega_n \end{cases} \quad (3.31)$$

Il est schématisé par la figure III.7 suivante :

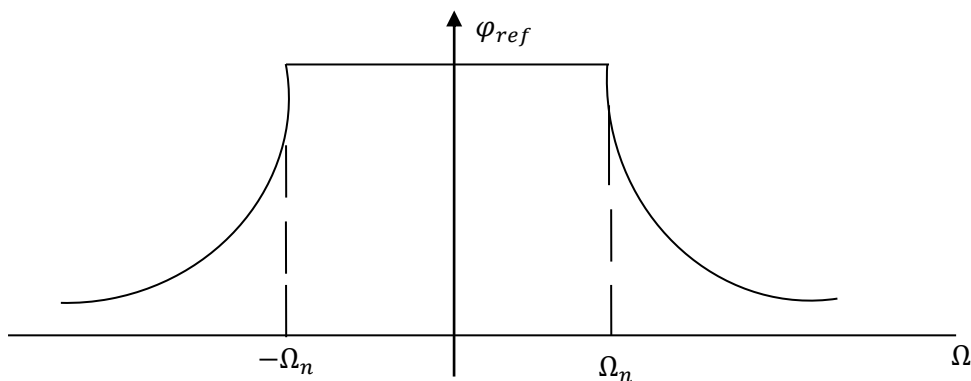


Figure III. 7 : Schéma de dé-fluxage

Le flux est généralement maintenu constant à sa valeur nominale, pour des vitesses rotorique inférieures ou égales à la vitesse nominale de la machine  $\omega_n$ , pour des vitesses supérieures le flux décroît lorsque la vitesse augmente afin de limiter la tension aux bornes de la machine.

III.7.1 Identifications des paramètres du régulateur de vitesse

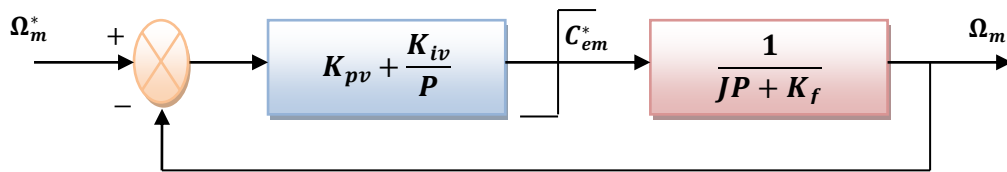


Figure III. 8 : Schéma de la boucle de régulation de vitesse

L'identification nous donne :

$$\begin{cases} K_{pv} = \frac{J}{T} \\ K_{iv} = \frac{K_f}{T} \end{cases} \quad (3.32)$$

On prend :  $T = \tau_r$

La commande doit être limitée par un dispositif de saturation défini par :

$$C_{em}^*(lim) = \begin{cases} C_{em}^* & \text{si } |C_{em}^*| \leq C_{emMAX} \\ C_{emMAX} \text{sign}(C_{em}^*) & \text{si } |C_{em}^*| > C_{emMAX} \end{cases} \quad (3.33)$$

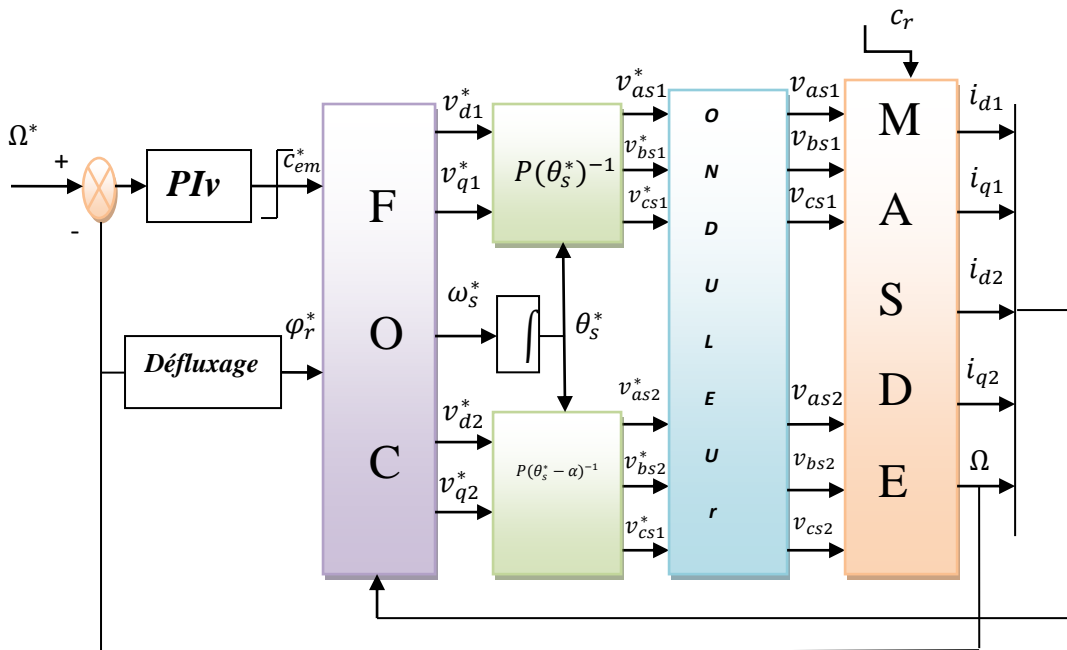
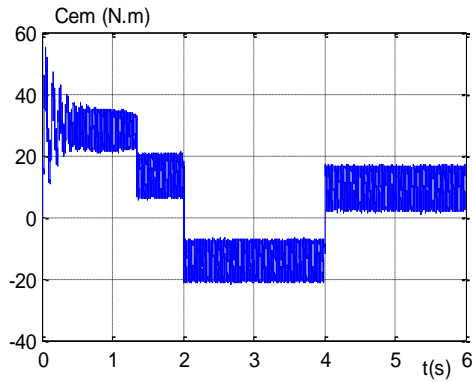


Figure III. 9 : Représentation schématique de la commande FOC avec régulation de vitesse

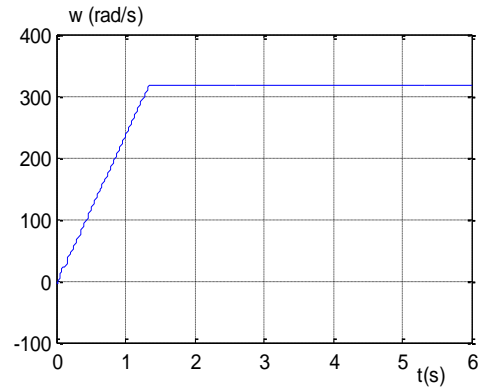
III.7.2 Simulations

La figure (III.10) représente l'évolution des caractéristiques de la MASDE avec la régulation de vitesse par la méthode de commande indirecte et par application d'une charge

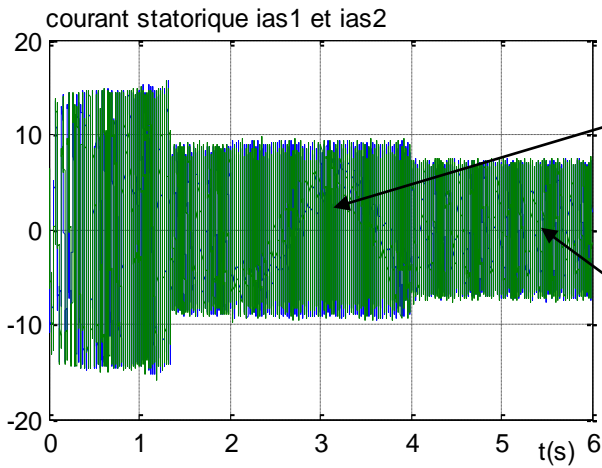
nominale  $C_r = 14 N.m$ ,  $C_r = -14$  et  $C_r = 10 N.m$  respectivement entre les intervalles de temps  $t = [1\ 2]s$ ,  $[2\ 4]s$  et  $[4\ 6]s$  et en imposant la vitesse de référence  $\Omega_r^* = 314\ rad/s$ .



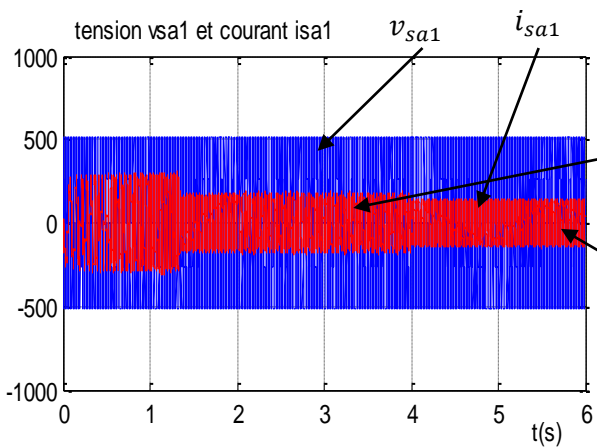
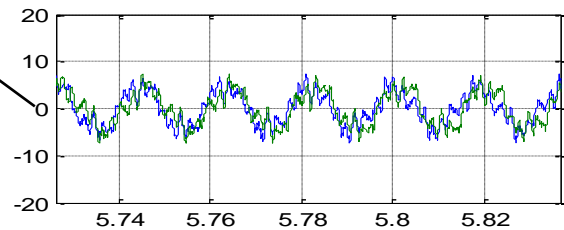
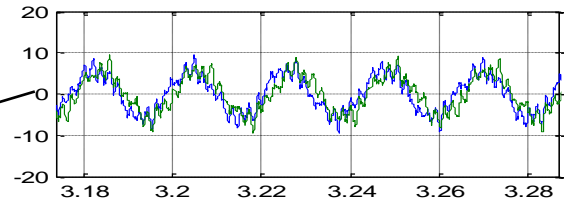
(a)



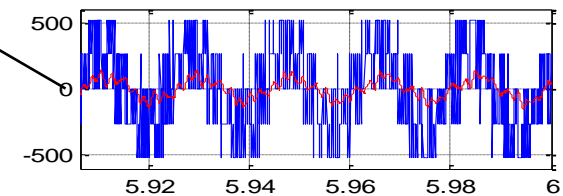
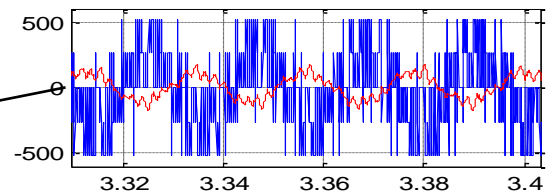
(b)



(c)



(d)



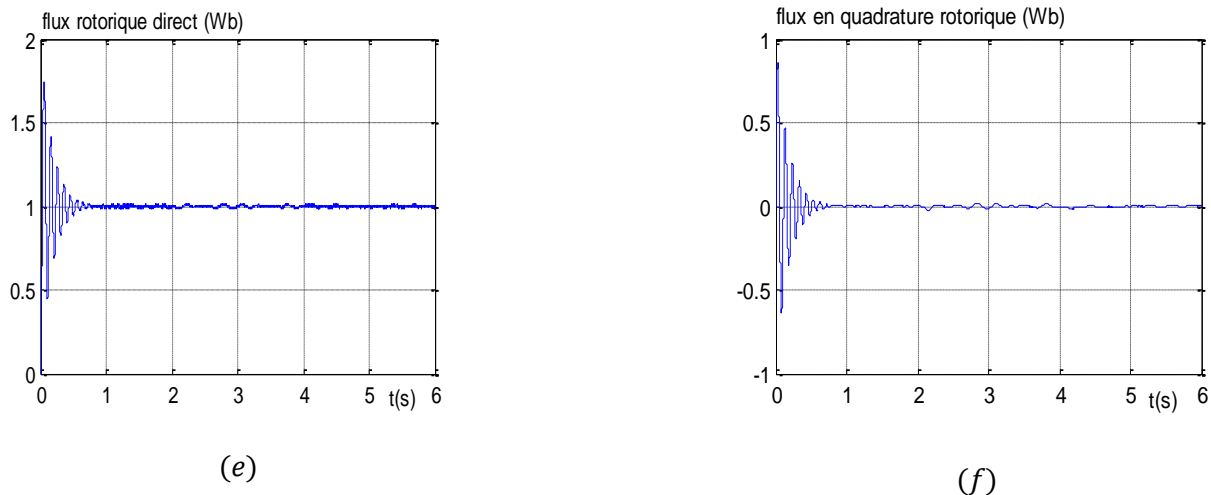


Figure III. 10 : L'évolution des caractéristiques de la MASDE par la commande vectorielle indirecte sans réglage de vitesse

Les résultats de simulation montrant que les changements de couple résistant n'affectent pas la vitesse de la MASDE et restent à son point de consigne tout au long, le couple électromagnétique suit les changements du couple résistant sans dépassement après le régime transitoire qui dure 1.4s. En régime permanent, le flux direct rotorique prend sa valeur de consigne après un dépassement de 1.74 Wb et le flux en quadrature s'annule.

Lorsqu'une charge positive est appliquée, le courant du stator est légèrement en retard par rapport à la tension, auquel cas le moteur tire de la puissance active et réactive de la source. Lors de l'application d'une charge négative, le courant est décalé de près de  $180^\circ$  par rapport à la tension, produit du courant et de la tension négative, ainsi la machine fournit de la puissance active à la source et absorbe une partie de la puissance réactive pour sa magnétisation.

Le courant en quadrature statorique varie avec le couple électromagnétique et le courant rotorique subit une augmentation pendant la charge. Maintenez toujours le décalage du courant statorique de la première étoile par rapport à la deuxième. La régulation de la vitesse est bien faite.

### III.8 Commande vectorielle direct avec régulation de vitesse

Le flux est régulé par contre-réaction et est estimé à partir des courants statoriques et de la pulsation des courants rotoriques de la machine. Dans cette application le bloc de découplage (FOC) est modifié. la figure (3.11) schématise le principe de la commande à flux orienté modifié (MFOC).

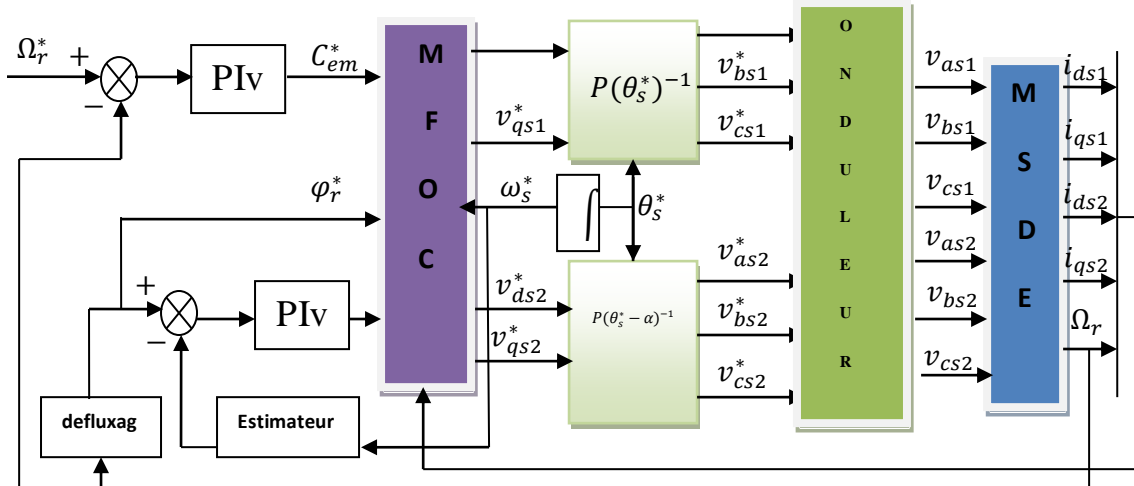


Figure III. 11 : Représentation de la commande MFOC sur la MASDE

#### III.8.1 Estimateur de flux rotorique

A partir des équations des tensions rotoriques (2.17), on tire :

$$\frac{d}{dt} \varphi_{dr} = -R_r l_{dr} + \omega_{gl} \varphi_{qr} \quad (3.34)$$

$$\frac{d}{dt} \varphi_{qr} = -R_r l_{qr} - \omega_{gl} \varphi_{dr} \quad (3.35)$$

Et des équations des flux rotoriques (2.19), on obtient :

$$l_{dr} = \frac{1}{L_r + L_m} [\varphi_{drest} - L_m (l_{ds1} + l_{ds2})] \quad (3.36)$$

$$l_{qr} = \frac{1}{L_r + L_m} [\varphi_{qrest} - L_m (l_{qs1} + l_{qs2})] \quad (3.37)$$

En remplaçant (III.34) dans (III.31) et (III.35) dans (III.32), on trouve :

$$\frac{d}{dt} \varphi_{drest} = \frac{R_r l_m}{L_r + L_m} (l_{ds1} + l_{ds2}) - \frac{R_r}{L_r + L_m} \varphi_{drest} + \omega_{gl} \varphi_{qrest} \quad (3.38)$$

$$\frac{d}{dt} \varphi_{qrest} = \frac{R_r l_m}{L_r + L_m} (l_{qs1} + l_{qs2}) - \frac{R_r}{L_r + L_m} \varphi_{qrest} + \omega_{gl} \varphi_{drest} \quad (3.39)$$

D'où, le module du flux rotorique estimé est :

$$\varphi_{rest} = \sqrt{\varphi_{drest}^2 + \varphi_{qrest}^2} \quad (3.40)$$

### III.8.2 Identification des paramètres du régulateur de flux

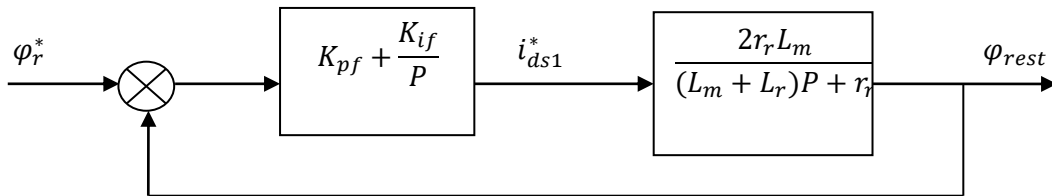


Figure III. 12 : Boucle de régulation de flux

L'identification de ce dernier, nous donne :

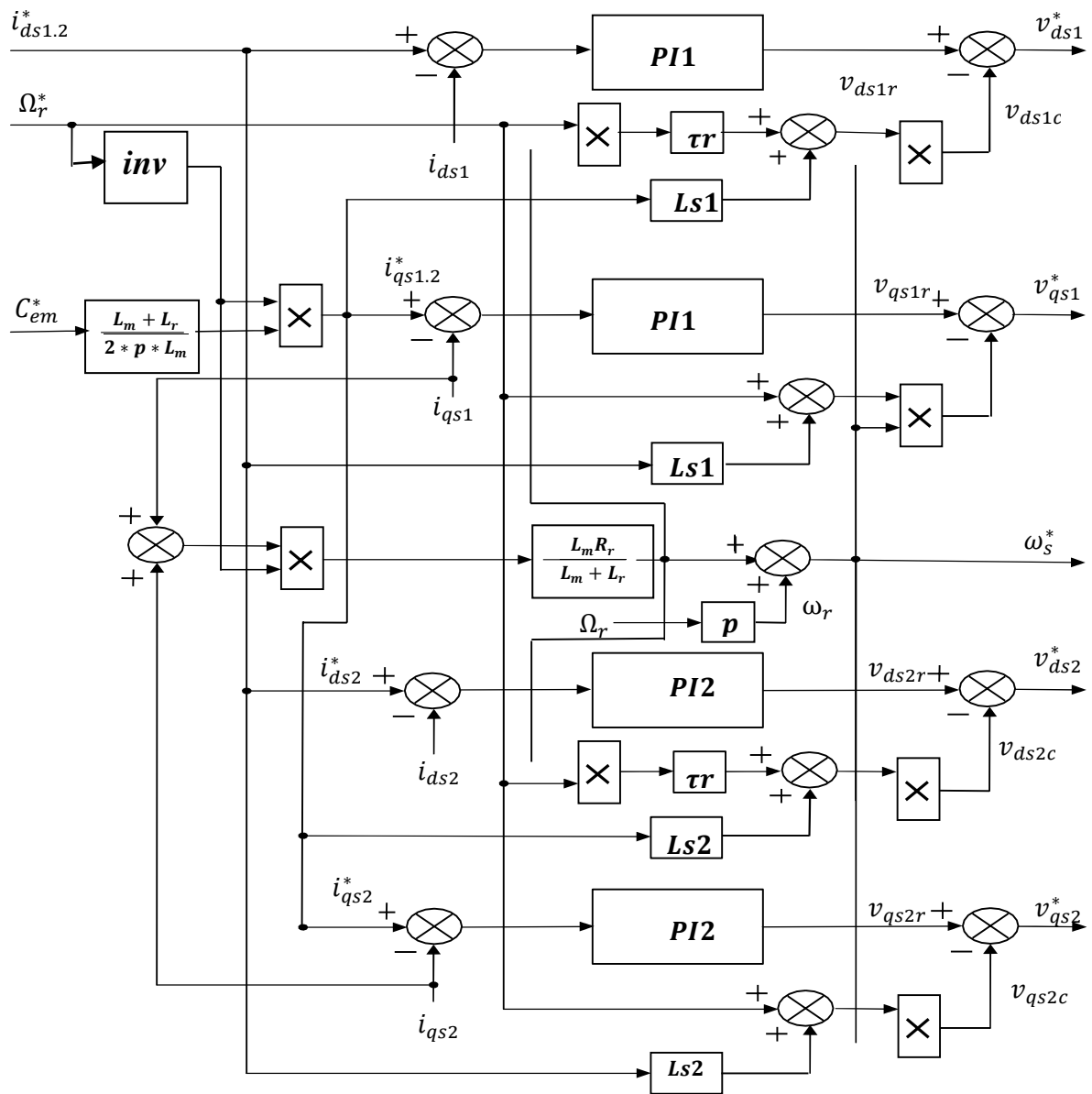
$$\begin{cases} K_{pf} = \frac{L_r + L_m}{2R_r L_m T} \\ K_{if} = \frac{1}{2L_m T} \end{cases} \quad (3.41)$$

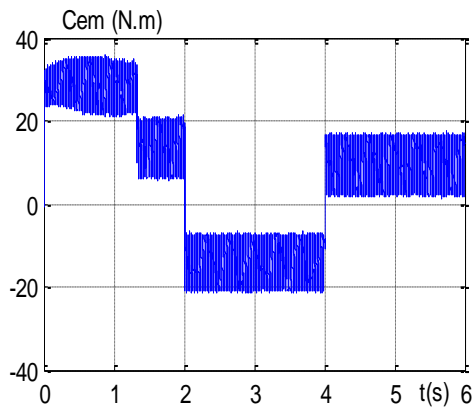
On prend :  $T = \tau_r$

### III.8.3 Simulation et interprétation des résultats

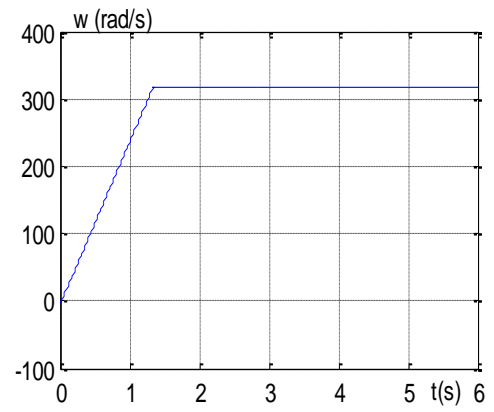
La figure III.14 représente l'évolution des caractéristiques de la MASDE avec régulation de la vitesse par la méthode de commande directe, suivi de l'application de la charge  $C_r = 14 \text{ N.m}$ ,  $C_r = -14 \text{ N.m}$  et  $C_r = 10 \text{ N.m}$  respectivement entre les intervalles de temps  $t = [1 \text{ 2}]$ ,  $[2 \text{ 4}]$  et  $[4 \text{ 6}]$ s et en imposant la vitesse de référence  $\Omega_r^* = 314 \text{ rad/s}$ .

Figure III. 13 : Représentation schématique du bloc de découplage

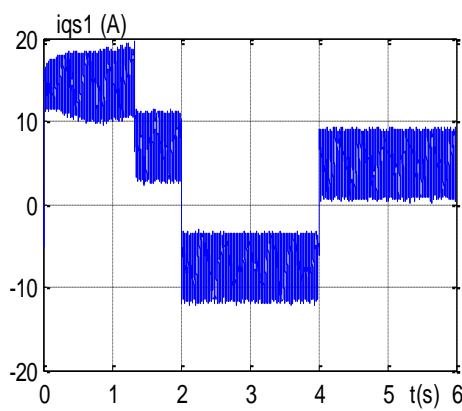




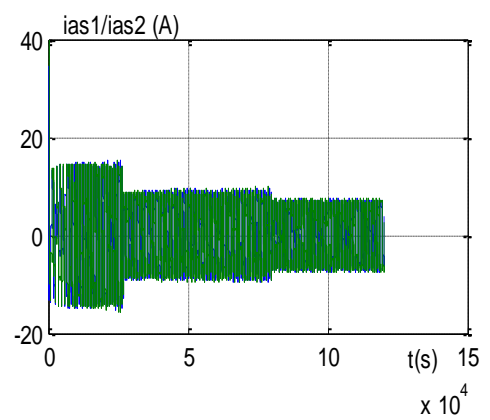
(a)



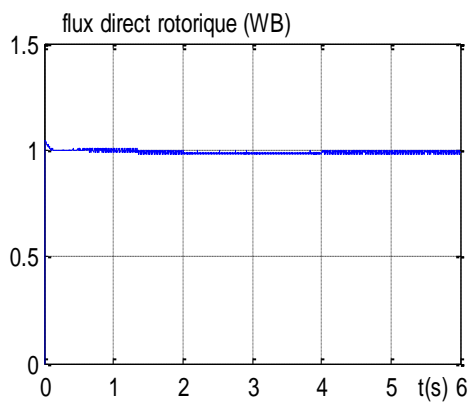
(b)



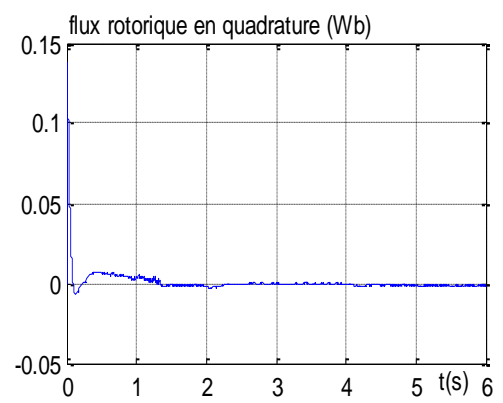
(c)



(d)



(e)



(f)

Figure III. 14 : L'évolution des caractéristiques de la MASDE avec la régulation de la vitesse par la méthode de commande directe

Les résultats de simulation pour la commande directe sont plus précis que pour la commande indirecte.

Le comportement de la MASDE pour la commande vectorielle direct est identique a la commande indirect.

La vitesse de la machine suit la référence imposée et le flux rotorique direct prend sa valeur de consigne au bout de 0.2s et presque sans dépassement, l'allure de courant statorique en quadrature se fait presque de la même façon que le couple électromagnétique.

### **III.9 Conclusion**

Ce chapitre est consacré de la commande vectorielle par orientation de flux rotorique de MASDE pour la régulation de la vitesse. L'étude de cette commande nous permet de mieux caractériser commande vectorielle sur la MASDE.

Par rapport à la commande indirecte, les performances de régulation de vitesse de la commande vectorielle directe sont meilleures. Ces en termes de précision et de stabilité.

Si les exigences en matière de précision et de plate-forme ne sont pas trop élevées, des algorithmes de réglage classique (par exemple les PI) peuvent suffire

---

# **Chapitre IV**

**Application sur un véhicule électrique**

---

## IV.1 Introduction

Les véhicules électriques et hybrides (véhicules légers, poids lourds, transport, quadricycles, tricycles et vélos) sont en passe de révolutionner les transports terrestres. Les moteurs à combustion interne sont obligés de céder la place à ces véhicules dites dé-carbonés, qui peuvent réduire la dépendance aux carburants fossiles grâce à des moteurs moins polluants. Une combinaison de programmes d'incitation gouvernementaux en Europe, en Amérique de Nord et en Asie, et le rythme rapide du développement technologique, suggèrent que cette percée est amorcée.

Un véhicule « tout électrique » est un véhicule tracté par un moteur électrique alimenté par une batterie.

Dans ce chapitre, nous appliquerons un couple résistant d'un véhicule électrique dans la machine asynchrone double étoile (MASDE) pilotée par la technique de commande vectorielle.

## IV.2 Modélisation du véhicule électrique

Un véhicule électrique (VE) est un système complexe composé de plusieurs composants différents en interaction (mécanique, électrique, électrochimique, etc.). De ce fait, son comportement est sensible à toute variation des caractéristiques de l'un de ces composants. Pour savoir modéliser des véhicules électriques, il est nécessaire de déterminer l'équilibre des forces exercées sur le véhicule lorsqu'il se déplace sur une pente, comme indiqué sur la figure (IV.1).

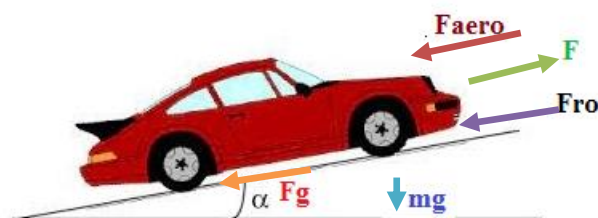


Figure IV. 1 : Représentation des forces agissant sur le véhicule électrique de masse ( $m$ ) se déplaçant sur une pente

### IV.2.1 Force de résistance au roulement

La force de résistance au roulement ( $F_{ro}$ ) due principalement à la friction des pneus du véhicule sur la route. Cette force agit dans le sens opposé du déplacement du véhicule, elle est donnée par l'équation :

$$F_{ro} = mg * f_{ro} * \cos(\alpha) \quad (4.1)$$

Avec :

$m$  : La masse totale du véhicule en  $kg$

$g$  : La gravité en  $m/s^2$

$f_{ro}$  : La constante de la force de résistance due au déplacement.

$\alpha$  : L'angle de pente de la route en  $rad$

### IV.2.2 Force résistante à la pénétration dans l'air

La force résistante à la pénétration dans l'air ( $F_{aero}$ ) engendrée par le frottement de l'air sur l'ensemble de la carrosserie du véhicule en se déplaçant est donnée par :

$$F_{aero} = \frac{1}{2} \rho_{air} A_f C_d V_e^2 \quad (4.2)$$

Tel que :

$\rho_{air}$  : La densité de l'air en  $kg/m^3$

$A_f$  : La surface frontale du véhicule  $m^2$

$C_d$  : Le coefficient de traînée aérodynamique

$V_e$  : La vitesse du véhicule en  $m/s$

### IV.2.3 Force résistante due à la pente

La force résistante due à la pente à gravité ( $F_g$ ) qui est proportionnelle à la masse  $m_g$  du véhicule et dépend de la route, elle est donnée par :

$$F_g = m g \sin(\alpha) \quad (4.3)$$

D'après ces trois forces on désigne la force résistive totale qui est donnée par l'équation suivante :

$$F_{res} = F_g + F_{aero} + F_{ro} \quad (4.4)$$

#### IV.2.4 L'équation du mouvement

L'équation du mouvement serait donnée par :

$$m \frac{dv_e}{dt} = F - F_{res} \quad (4.5)$$

Avec :

$F$  : La force de traction du véhicule électrique, elle est assurée par le moteur.

#### IV.2.5 Le couple résistant du véhicule

L'expression du couple résistant qui est dû aux forces résistantes est exprimer par :

$$C_r = F_{res} \frac{r}{G_r} \quad (4.6)$$

Avec :

$r$  : Rayon de la roue

$G$  : Gain de la réduction qui relie le moteur a l'axe

La figure suivante représente le diagramme fonctionnel du couple résistant calculé à partir des forces résistantes :

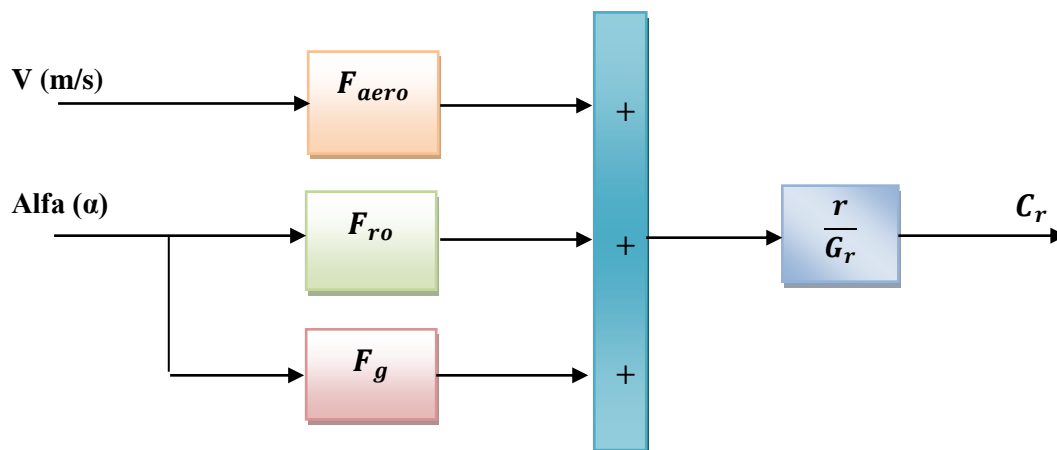


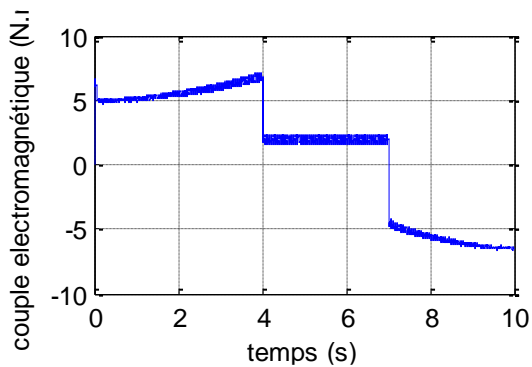
Figure IV. 2 : Schéma de la dynamique d'un couple résistant d'un véhicule électrique

### IV.3 Application de la MASDE sur un véhicule électrique

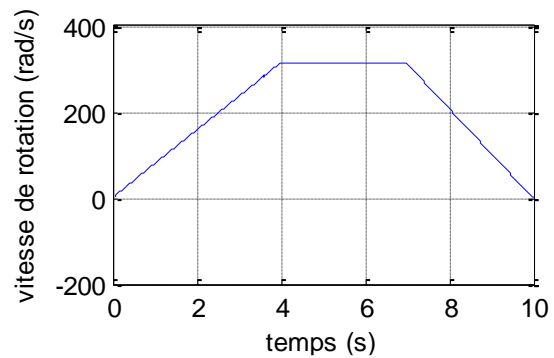
Notre application sera faite par trois essaie pour un véhicule électrique de masse  $m = 1300 \text{ kg}$  et de gain  $G_r = 1000$ .

### IV.3.1 Influence de profil de vitesse

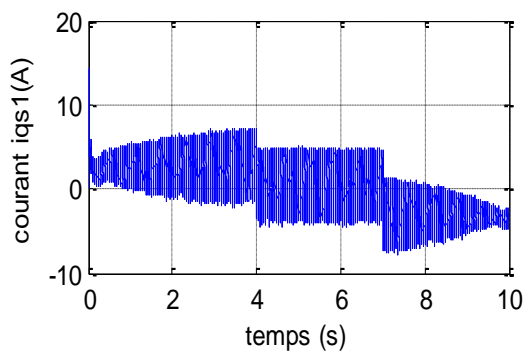
Ce test de simulation s'effectue sur un itinéraire reliant deux station d'arrêt, le véhicule démarre à partir de la première avec une accélération de  $a = 25.12 \text{ m/s}^2$  jusqu'à la vitesse nominale  $100.48 \text{ m/s}$ , il garde cette vitesse pendant un temps de [4 7] s, enfin, il ralenti avec décélération de  $a = -33.49 \text{ m/s}^2$  pour qu'il s'arrête définitivement en arrivant à la deuxième station.



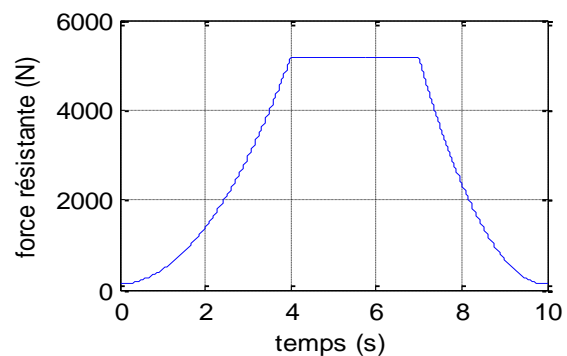
(a)



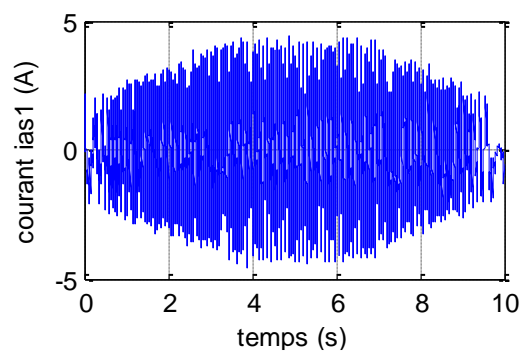
(b)



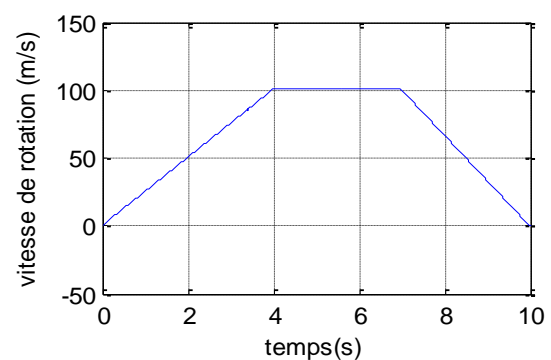
(c)



(d)



(e)



(f)

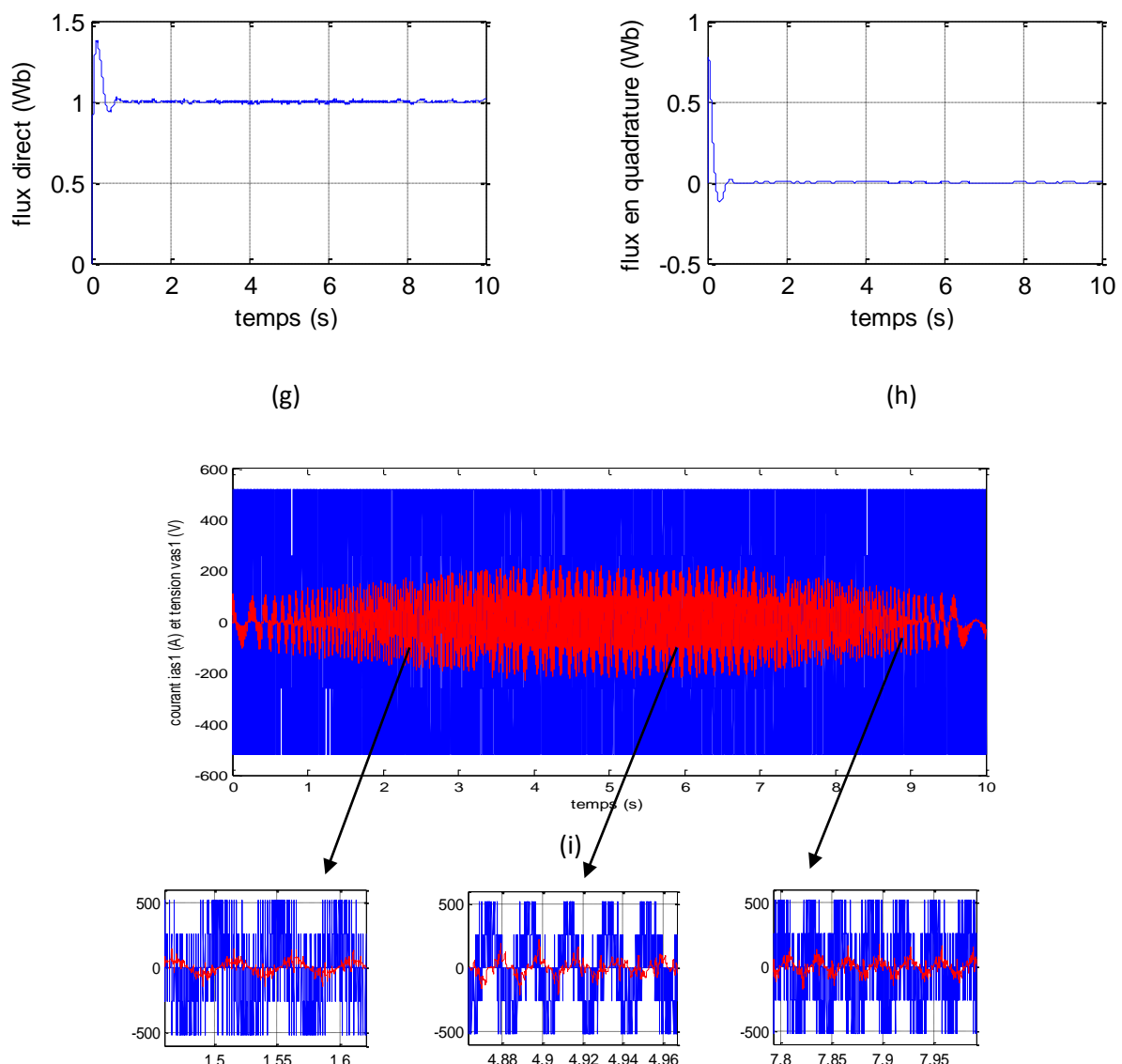


Figure IV. 3 : Simulation de l'influence de profil de vitesse sur un véhicule électrique

### Interprétation des résultats

Les courbes de simulation de la MASDE montrent qu'au démarrage la vitesse de la machine avance linéairement jusqu'à atteindre une valeur nominale  $314 \text{ rad/s}$  soit  $100.48 \text{ m/s}$  en suivant le profil de la vitesse, et décélère lorsque qu'on applique la décélération.

Le couple électromagnétique a l'instant de démarrage prend une valeur qui correspond au couple résistant propre de la machine, il augmente d'une manière presque linéaire correspond au couple produit par la force résistant  $f_{res}$  qui évolue suivant la vitesse de la machine et se stabilise a sa valeur nominale des que cette dernière prend une valeur constante, pendant la décélération, le couple électromagnétique diminue progressivement pour rejoindre

la partie négative dans ce cas le couple électromagnétique s'oppose au mouvement de véhicule, la force d'avancement progresse d'une manière identique au couple électromagnétique, elle prend des valeur qui correspond à la force résistant.

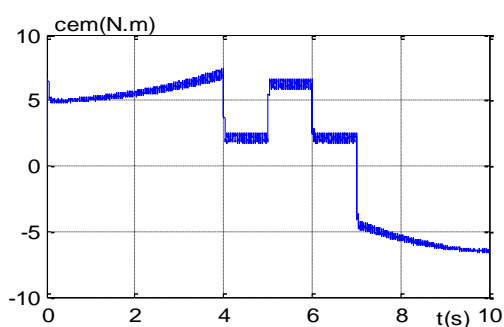
Les courants statorique progressent linéairement pendant l'accélération, prennent leurs valeurs nominales au régime établie, et diminue progressivement pendant la décélération, les courant en quadrature statoriques évoluent identiquement au couple électromagnétique.

Le flux rotorique direct suit entièrement la référence imposée de  $1Wb$  après  $0.83s$ , sans dépassement, et le flux rotorique en quadrature présente un pic au démarrage pendant une fraction de seconde et se stabiliser autour de zéro ( $0 Wb$ ).

Lors du démarrage et pendant le régime permanent les courants statorique sont légèrement en retard par rapport à la tension, la MASDE absorbe la puissance active et réactive. Lors de la décélération, le courant statorique est décalé de presque  $180^\circ$  par rapport à la tension, la MASDE fournit de la puissance active et absorbe une partie de la puissance réactive pour la magnétisation, ce qui correspond au freinage par récupération de l'énergie.

### IV.3.2 Essai de simulation en pente

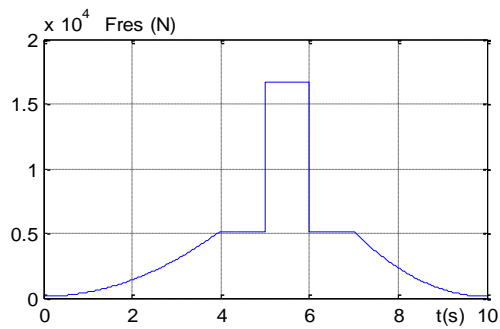
Sur le même trajet, le véhicule circule dans une zone libre à une vitesse nominale de  $100.48 m/s$ , en maintenant cette vitesse et passe par une pente d'affranchissement de  $\beta = 20^\circ$ . Entre l'intervalle de temps  $t = [5 6]s$ , Les résultats de simulation sont présentés dans la Figure (VI.4).



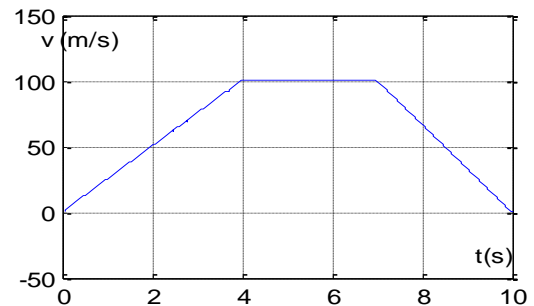
(a)



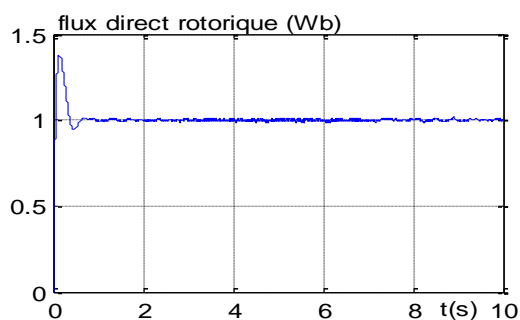
(b)



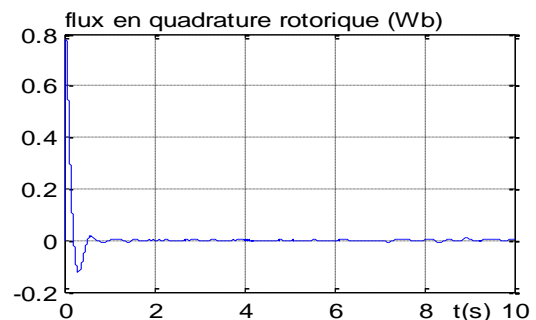
(c)



(d)



(e)



(f)

Figure IV. 4 : Simulation d'un véhicule travers une pente de  $20^\circ$ 

### Interprétation des résultats

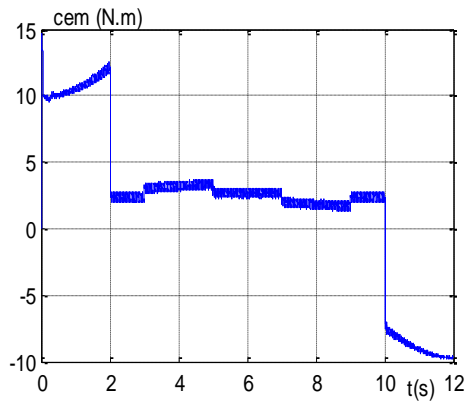
Les résultats de simulation montrent que la force de résistante à l'avancement augmente approximativement lorsque le véhicule franchit une pente de  $\alpha = 20^\circ$ , ce qui explique l'augmentation du couple électromagnétique généré par la machine, la force à l'avancement du véhicule et du courant statorique absorbé, la vitesse du véhicule reste constante et suit toujours la référence imposé. Selon le principe de la commande en découplage. Les courants statoriques en quadrature suivant l'évolution du couple électromagnétique.

Lors d'un fonctionnement en pente, nous constatons que les flux rotorique convertent leurs valeurs de référence.

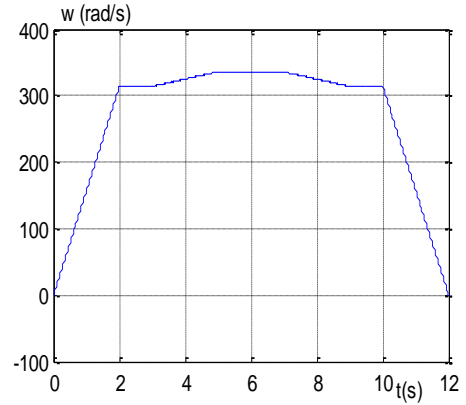
### IV.3.3 Essai de simulation du véhicule électrique en survitesse

Dans cette essai, le véhicule est entrainer à une vitesse supérieur à la vitesse nominale, il maintient cette vitesse de 335.9 rad ou  $V_e = 107.5$  m/s pendant un intervalle de temps

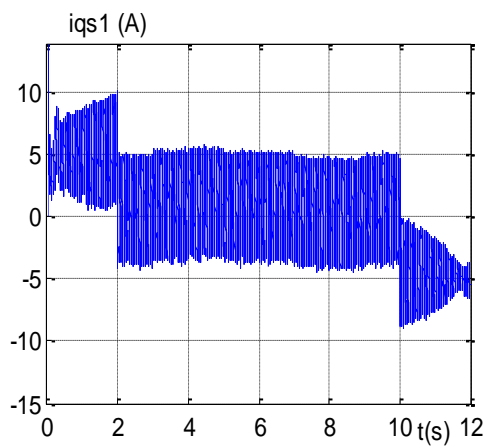
$t = [5 \ 7]s$ , puis il fait une décélération jusqu'à l'arrêt total en arrivant à la deuxième station, les résultats de simulation sont montrés sur la Figure (VI.5).



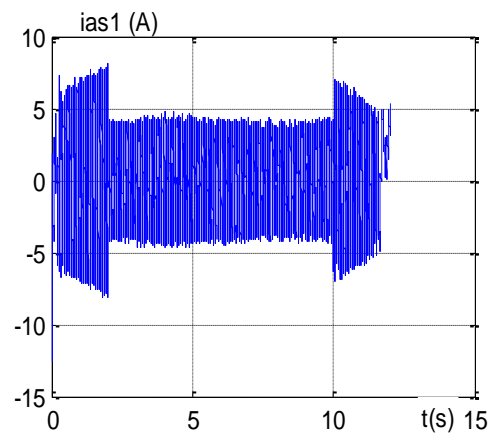
(a)



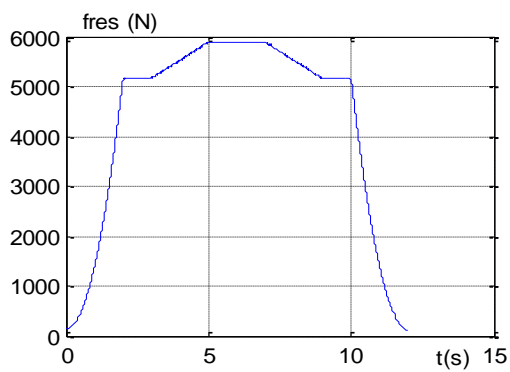
(b)



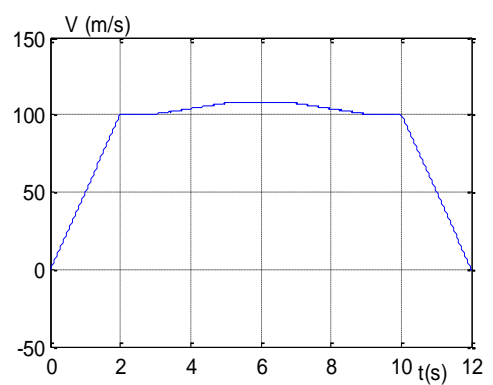
(c)



(d)



(e)



(f)

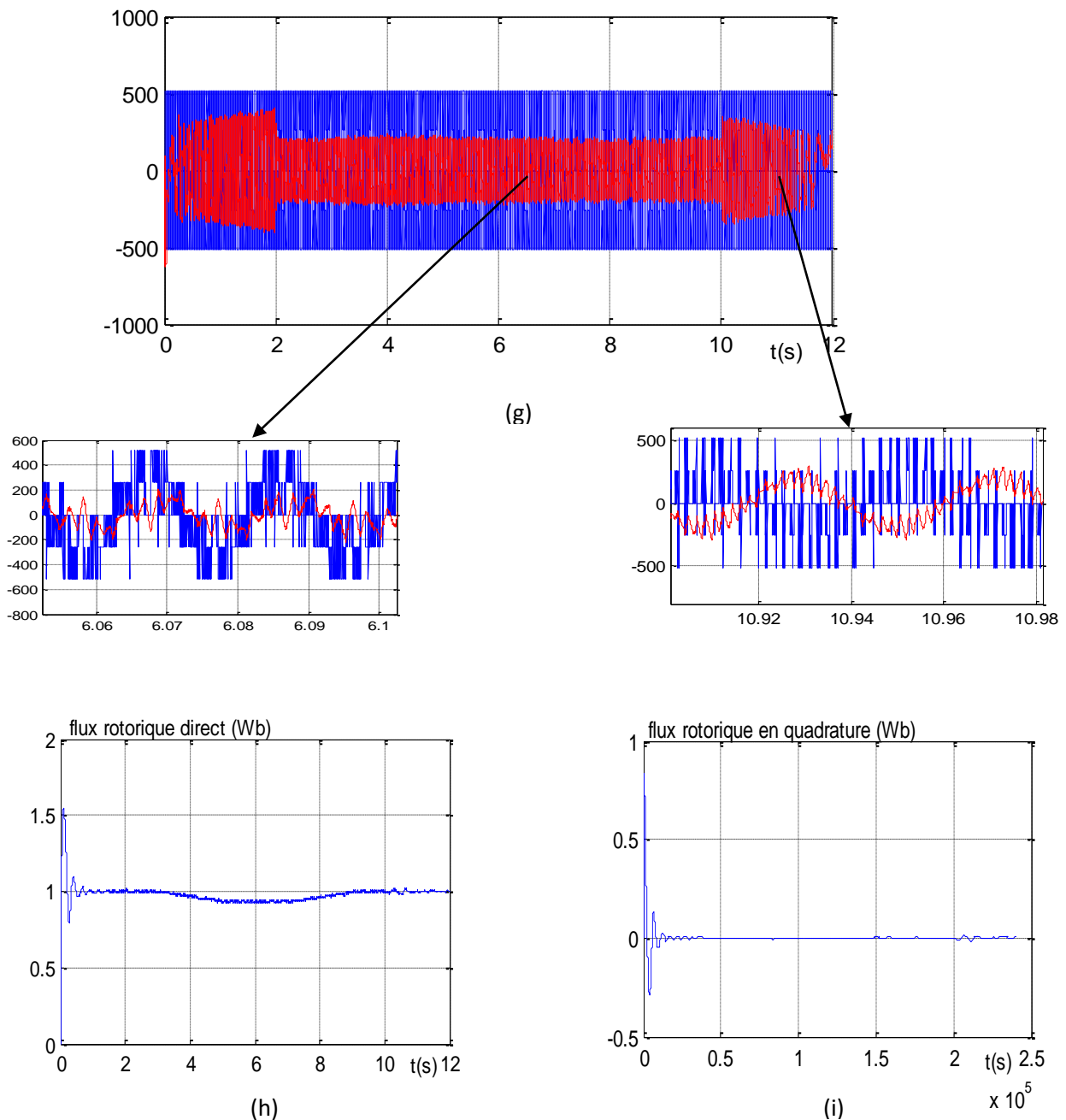


Figure IV. 5 : Simulation d'un véhicule en survitesse pendant l'intervalle de temps  $t = [5 \ 7] \text{ s}$

Pendant l'augmentation de la vitesse, le couple électromagnétique connaît aussi une élévation due à l'augmentation de la force résistante à l'avancement de  $7.02 \text{ N}$ , le courant statorique connaît une augmentation après un pic causé par l'accélération du véhicule, le courant statorique en quadrature suit l'évolution du couple électromagnétique après le régime transitoire, la force de l'avancement du véhicule suit avec la même grandeur la variation de la force résistante à l'avancement, cependant, la décélération du véhicule entraîne des diminutions aux niveaux du couple électromagnétique, des courants statorique et de la force à l'avancement causées par la diminution de la force résistante à l'avancement.

L'entraînement de la MASDE au-delà de la vitesse nominale entraîne la machine à fonctionner en dé-fluxage, toute fois, le flux rotorique directe diminue progressivement pour se stabiliser à  $0.93 \text{ Wb}$  pendant le régime de survitesse, afin de diminuer les pertes fer et pour éviter la saturation de la machine, le flux rotorique en quadrature se stabilise autour de zéro.

#### **IV.4 Conclusion**

Dans ce chapitre, nous avons appliqué un couple résistant d'un véhicule électrique à la machine asynchrone double étoile, en présentant dans un premier lieu la modélisation d'un véhicule électrique et les différentes forces qui agissent sur le véhicule, après la simulation du véhicule sur un profil de vitesse, nous avons effectué deux essais de simulation en zones critiques, à savoir le passage d'un véhicule par une pente, et un fonctionnement en régime de survitesse, les résultats de simulations ont montrés que le couple électromagnétique suit la variation du couple résistant en maintenant les flux rotorique dans leur valeur de consignes, ce qui montre la bonne réponse de la commande vectorielle et l'applicabilité de la MASDE dans un véhicule électrique.

---

# **Conclusion générale**

---

## *Conclusion générale*

La recherche dans le domaine des machines tournantes ne cesse d'évoluer. En effet depuis l'avènement de l'électricité, l'humanité a, toujours, prôné une philosophie d'une manière à subvenir à ses continuels besoins et de s'imposer en maître des lieux. Le moteur à courant continu qui, jadis, était la fierté de l'industrie, cède sa place au moteur asynchrone triphasé, puis, vient le moteur multiphasé surplomber le tout, avec ses qualités de haute fiabilité, d'une segmentation de puissance, d'un pouvoir d'élimination d'harmoniques d'espace, de minimisation des ondulations du couple et des pertes rotoriques. Le moteur asynchrone à double étoile est identique au moteur asynchrone triphasé, avec la particularité de posséder une étoile supplémentaire au stator, décalée d'un angle de trente degrés par rapport à la première étoile.

L'alimentation, via deux onduleurs de tension, avec commande MLI, Après avoir modélisé ces derniers. Est une obligation dans le milieu industriel. La commande vectorielle par orientation du flux rotorique, est responsable des ondulations qui surviennent sur le couple, la vitesse, les flux rétorques et les courants du moteurs.

Dans la perspective, nous sommes intéressées a l'application de la MASDE sur un véhicule éclectique, en commençant par la modélisation et la présentation des différents force agissent sur le véhicule, puis pour valider cette dernière étude, deux tests de simulations sont effectués, le premier consiste à prévoir le véhicule lorsqu'il traverse une pente et le deuxième lorsqu'il fonctionne en survitesse, on obtient les résultats de simulation, il est légitime de choisir un véhicule éclectique comme application à ce moteur.

D'autres points sont sciemment, ni étudiés, ni cités dans ce manuscrit. Une manière de les reporter en perspective pour améliorer ce travail, compte tenu que ce projet n'est qu'une introduction à la recherche.

Néanmoins, quelques perspectives sont citées, avec l'espoir de pouvoir les réaliser à l'avenir, tels que :

- ❖ Etude de l'influence des harmoniques d'espace.
- ❖ Etude des stratégies de commande de la MASDE
- ❖ Utilisation d'onduleur multi-niveaux.
- ❖ Remplacement des onduleurs par des convertisseurs matriciels.

L'effort de contribuer à l'étude de la machine asynchrone à double étoile s'achève dans ces notes. Il reste, tout de même, la possibilité d'espérer de poursuivre les recherches liées à sa structure, à son alimentation et aux différentes commandes qui peuvent lui être associées.

## ANEXE

### Paramètre utilisé

**Tableau 1 : Paramètre de la Machine Asynchrone Double Etoile**

Paramètre	Valeurs
Puissance nominale	$P_n = 4.5 \text{ kW}$
Courant nominale	$I_n = 6.5 \text{ A}$
Tension nominale	$V_n = 220 \text{ V}$
Vitesse nominale (synchronisme)	$v_n = 3000 \text{ tr/min}$
Moment d'inertie	$J = 0.0625 \text{ kg} \cdot \text{m}^2$
Coefficient de frottement	$K_f = 0.001 \text{ N} \cdot \text{m} \cdot \text{s/rad}$
Fréquence nominale	$f_s = 50 \text{ Hz}$
Resistance rotorique	$r_r = 2.12 \Omega$
Resistance des enroulements de l'étoile 1	$r_{s1} = 3.72 \Omega$
Resistance des enroulements de l'étoile 2	$r_{s2} = 3.72 \Omega$
Inductance de fuite des enroulements de l'étoile 1	$L_{s1} = 0.022 \text{ H}$
Inductance de fuite des enroulements de l'étoile 2	$L_{s2} = 0.022 \text{ H}$
Inductance rotorique	$L_r = 0.006 \text{ H}$
Inductance mutuelle cyclique	$L_m = 0.3672 \text{ H}$
Nombre de paire de pole	$p = 1$

## ANEXE

---

**Tableau 2 : Elément de cahier de charge d'un véhicule électrique**

Paramètre	Valeurs
Masse du véhicule	$m = 1300 \text{ kg}$
Rayon de la roue	$r = 0.32 \text{ m}$
Surface frontale du véhicule	$A_f = 2.6 \text{ m}^2$
Constante de la force de résistance due au déplacement	$f_{ro} = 0.01$
Densité de l'air	$\rho_{aero} = 1.2 \text{ kg/m}^3$
Coefficient de trainé aérodynamique	$C_d = 0.32$
Machine utilisée	<b>MASDE</b>

---

## Bibliographie

---

- [1] [https://electrotoile.eu/reseau\\_triphas.php](https://electrotoile.eu/reseau_triphas.php)
  - [2] Bernard MULTON, « Historique des machines électriques et plus particulièrement des machines à reluctance variable », la revue 3 E. I, société de l'électricité de l'électronique et des technologies de l'information et de la communication, 1995, pp.3-8. Hal-00674038.
  - [3] Smail AZZI et Belkacem AZZI, « Etude et Modélisation de la machine asynchrone Double étoile : Application à la traction électrique », Mémoire de Master, Université de TIZI-OUZOU, 2014.
  - [4] G. SALLOUM, « contribution à la commande robuste de la machine asynchrone double étoile », Docteur de l'Institut National polytechnique de Toulouse, 2007.
  - [5] CHEKKAL et HAMITOUCHE. « Étude, identification, modélisation et commande de la machine asynchrone double étoile », Mémoire d'Ingénieur Université de Bejaïa, 2007.
  - [6] BENRABIA et BENDIB, « simulation numérique d'un moteur asynchrone à double étoile commandé par onduleur multi niveaux », Mémoire d'Ingénieur Université de M'sila, 2005.
  - [7] MERABET « commande Floue Adaptative d'une machine asynchrone double étoile », Mémoire de Magister en Électrotechnique, Université de Batna, 2008.
  - [8] HADIOUCHE, « contribution à l'étude de la machine asynchrone double étoile : modélisation, alimentation et structure », thèse de Doctorat de l'Université Henri Poincaré, Nancy I, France, Décembre 2001.
  - [9] G. Grellet, G. Clerc, actionneur électrique, Edition Eyrolles, Paris, France, 1997.
  - [10] HAMMACHE, Etude et réalisation d'une machine asynchrone double étoile : conception, alimentation et commande, Mémoire de Magister de l'Ecole Militaire Polytechnique, Alger, Algérie, Janvier 2007.
  - [11] Z. Oudjebour, E. M. Berkouk, N. Sami, S. Belgasmi, S. Arezki, I. Messaif, « indirect space vector control of a double star induction machine fed by two five-levels NPC VSI », International Conference on Electric Machine, ICEM'04, Poland, 2004.
  - [12] H. Ney, « Equipement de puissance », Edition Fernand Nathan, Paris, 1988.
  - [13] K.HAMITOUCHE, « Contribution à l'Amélioration des Performances d'une Chaîne de Traction Ferroviaire », Mémoire de Magister, Bejaïa, 2013.
  - [14] S. Chekkal, D. Aouzellag, K.Ghedamsi, H.amimour, « New Control Strategy of wind generator based on the dual-stator induction generator », 10th International
-

## Bibliographie

---

- Conference on Environment and Electrical Engineering IEEEIC'11, c 2011 IEEE, pp. 268-271, Rome, Italy, 2011.
- [15] H. Amimneur, « contribution au contrôle de la machine asynchrone double étoile », these de Doctorat de l'Université de Batna, 2012.
- [16] H. Ney, « Equipement de puissance », Edition Fernand Nathan, Paris, 1988.
- [17] H. Amimeur mémoire magister en électrotechnique, « contribution a la commande d'une machine asynchrone double étoile par mode de glissement », 28-05-2008.
- [18] L. Baghli, « contribution a la commande d'une machine asynchrone, utilisation des logique floue, des réseau de neurones et des algorithme génétiques », these de Doctorat d'Université Henri Poincaré de Nancy I, France, janvier 1999.
- [19] G. A. Capolino, H. H'enaou V. T. Nguyen Phuoc, « méthode de conception d'une commande vectorielle pour machine a induction », SEE Journée d'étude a Lille, pp. 1-19, Lille, Décembre 1992.
- [20] Y. Y. Ho. Edward, C. S. Paresh, « decoupling control motor drives », IEEE Trans on Indu Elec, vol. 35, no. 2, pp. 253-262, May 1988.
- [21] A. Boglietti, P.Ferraris, M. Pastorlli, C. Zimaglia, « Induction motors field oriented control based on averaged parameters », In IEEE, 0-7803-1/94, pp. 81-87, 1994.
-